

图 1

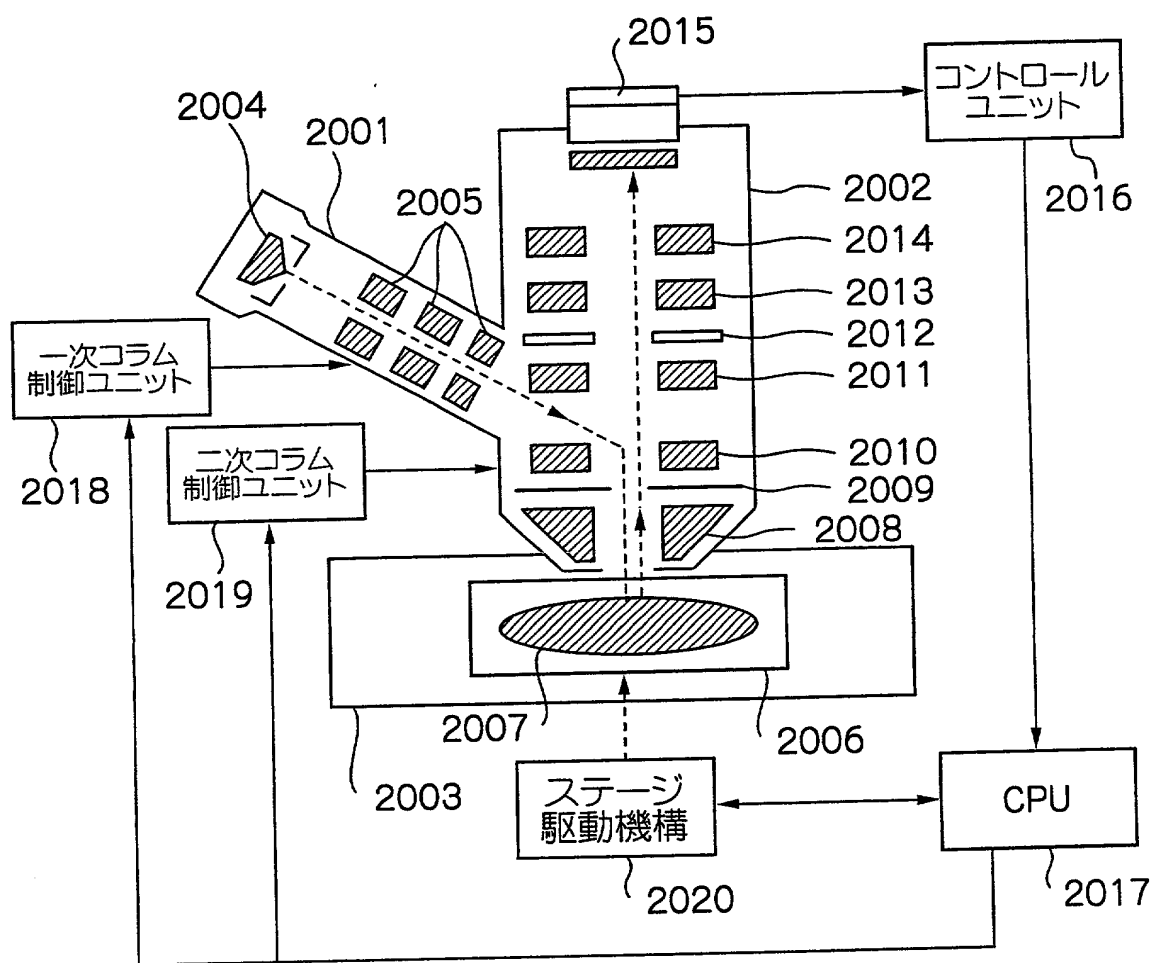
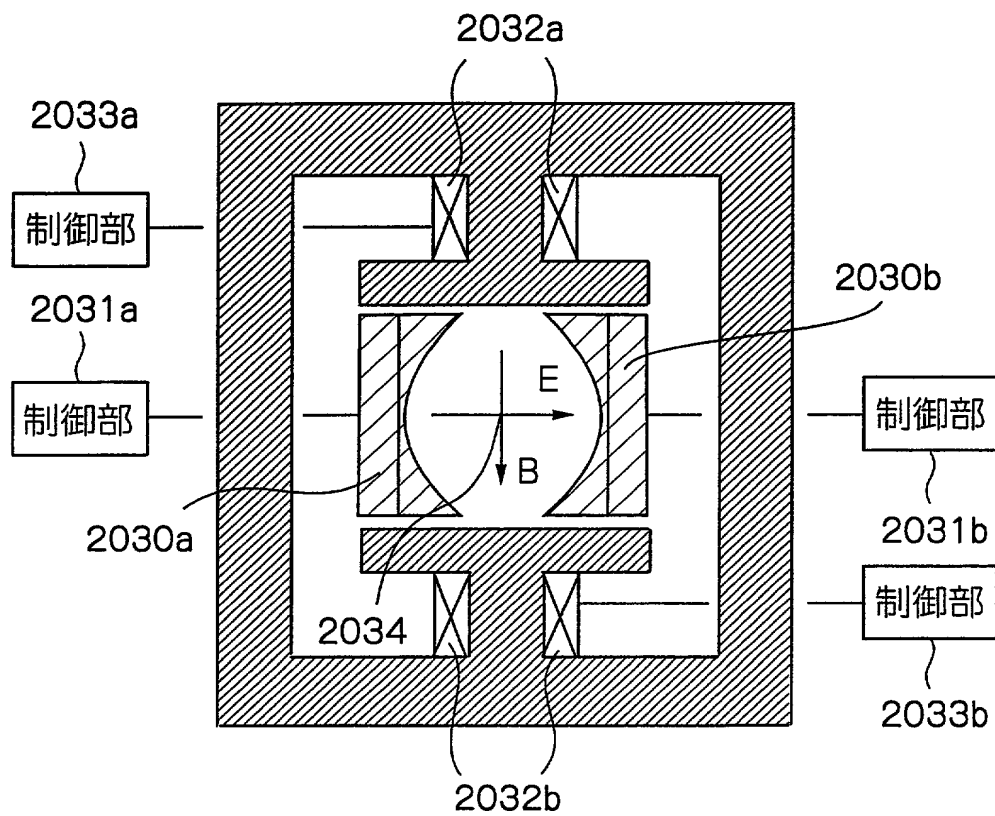
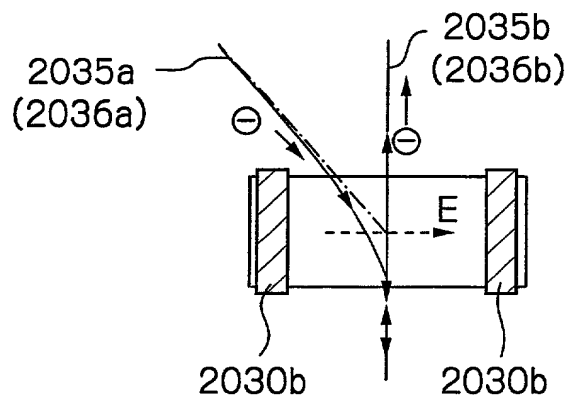


図 2



(a)



(b)

図 3

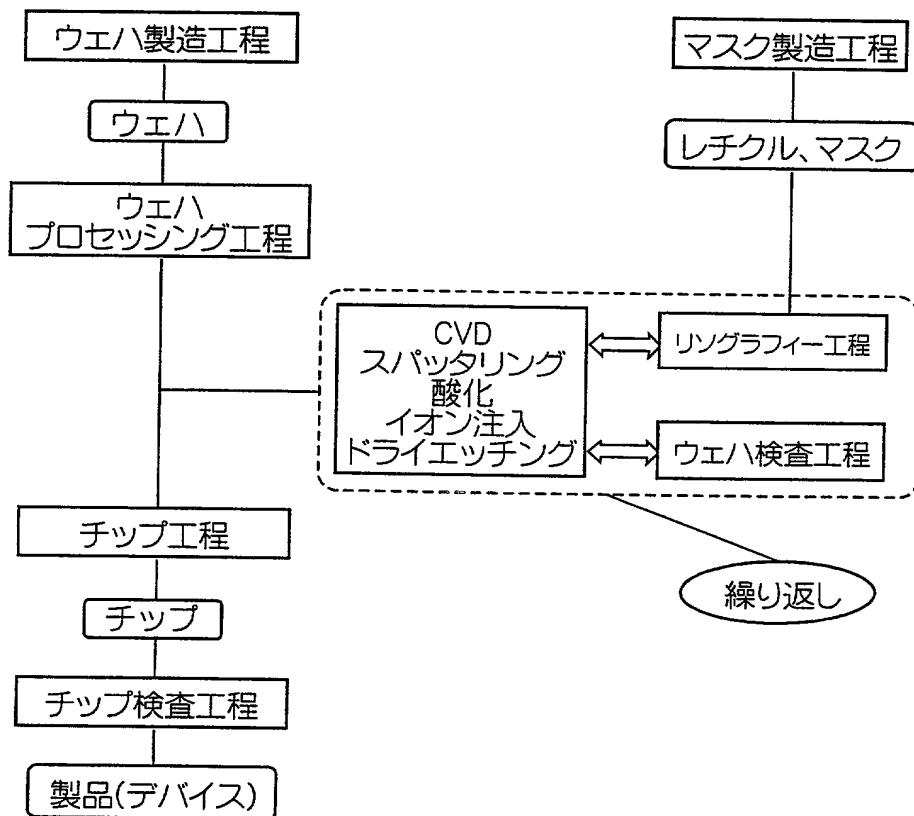
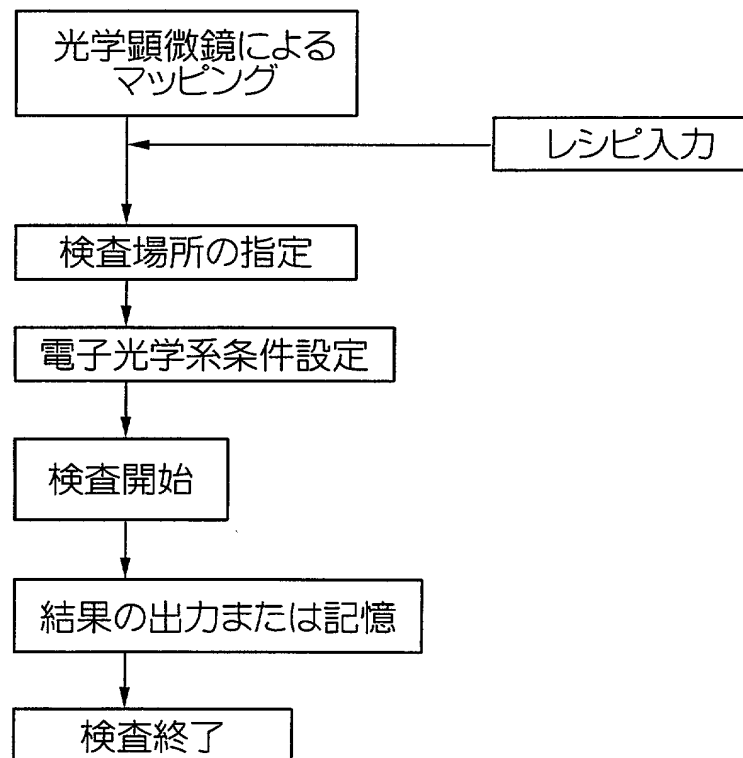


図 4



(a)



(b)

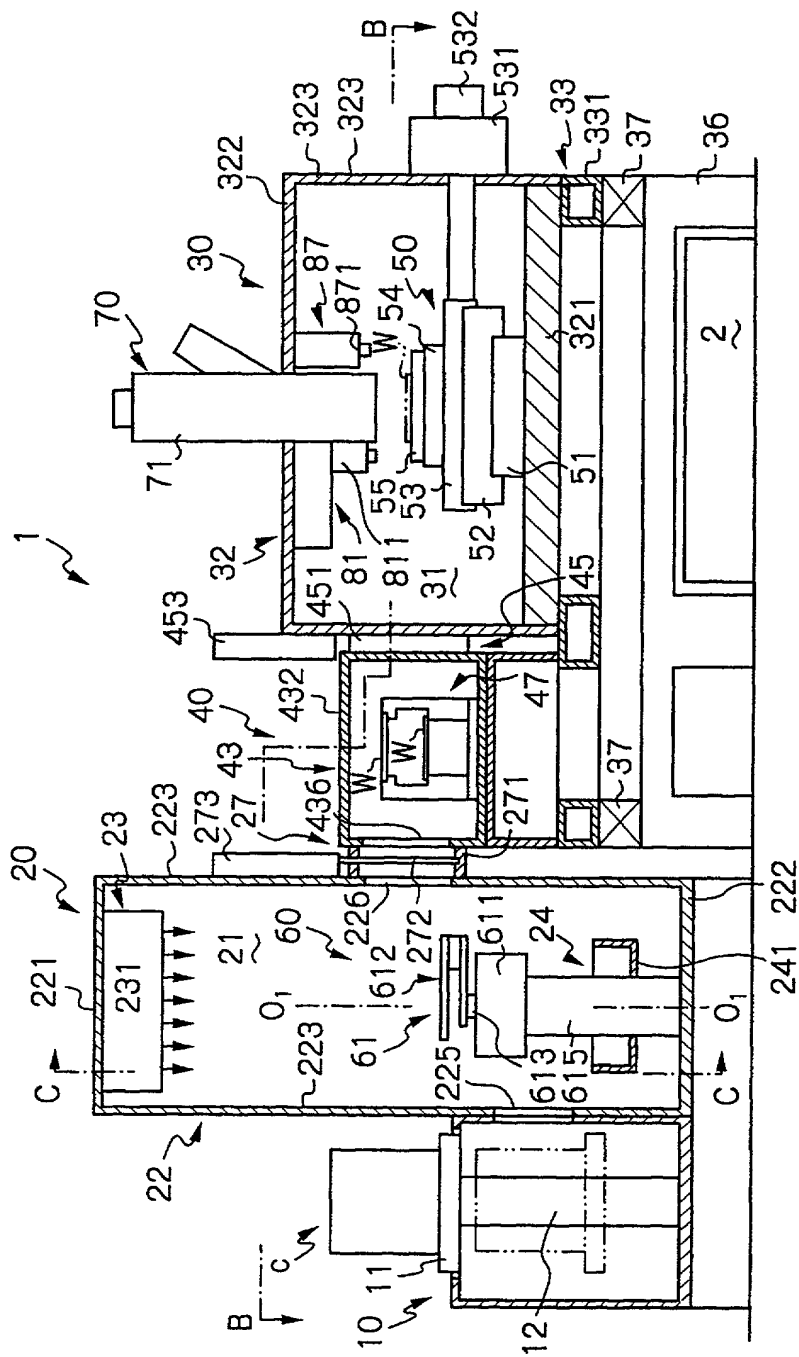


图5

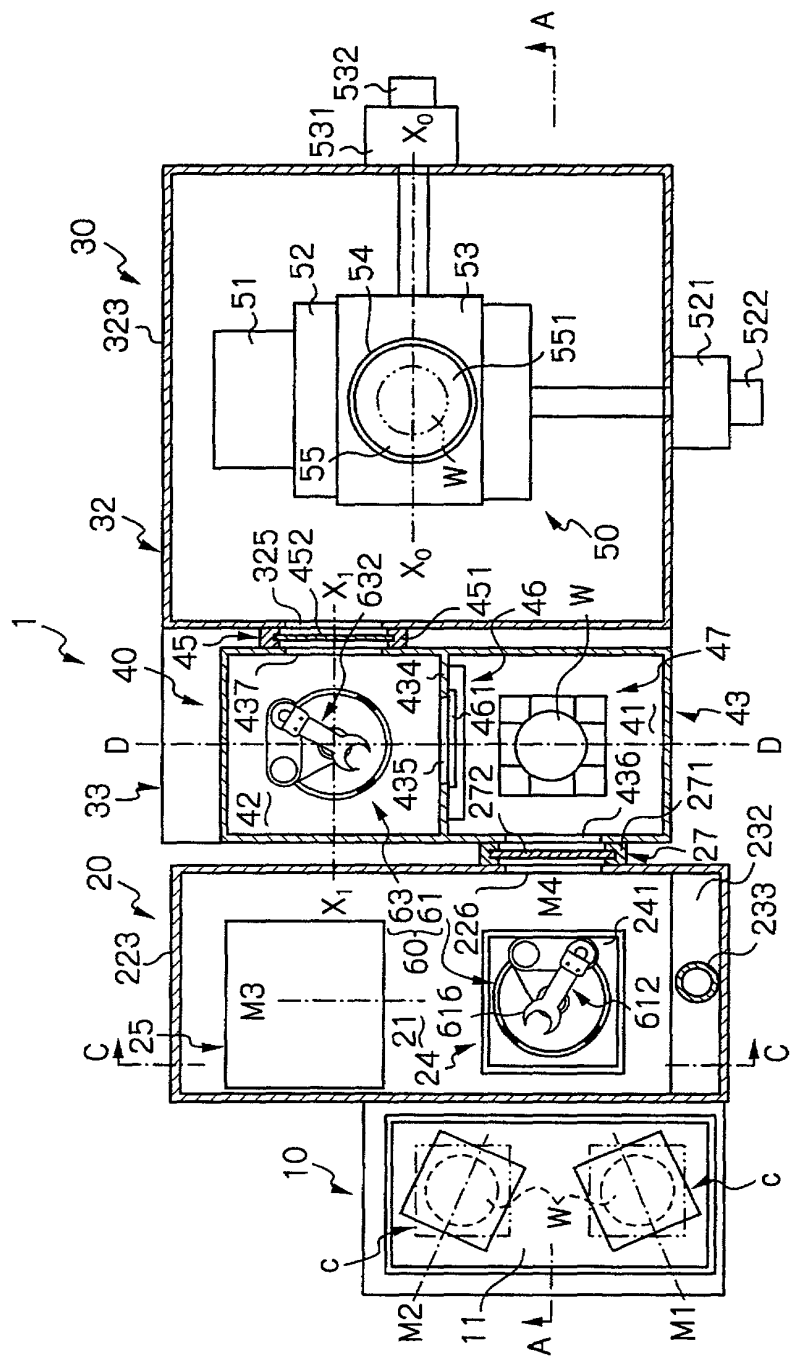
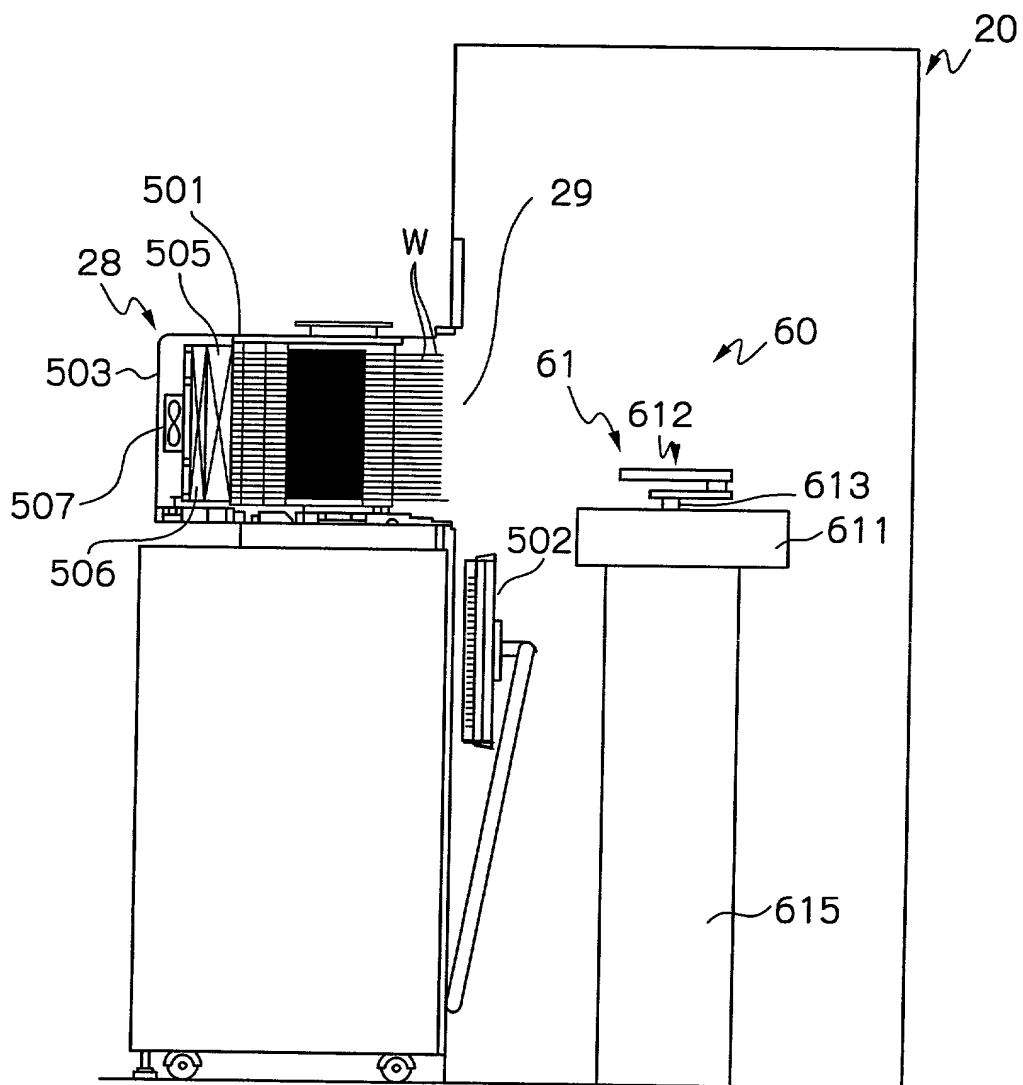


FIG. 6(a)

図 6 (b)



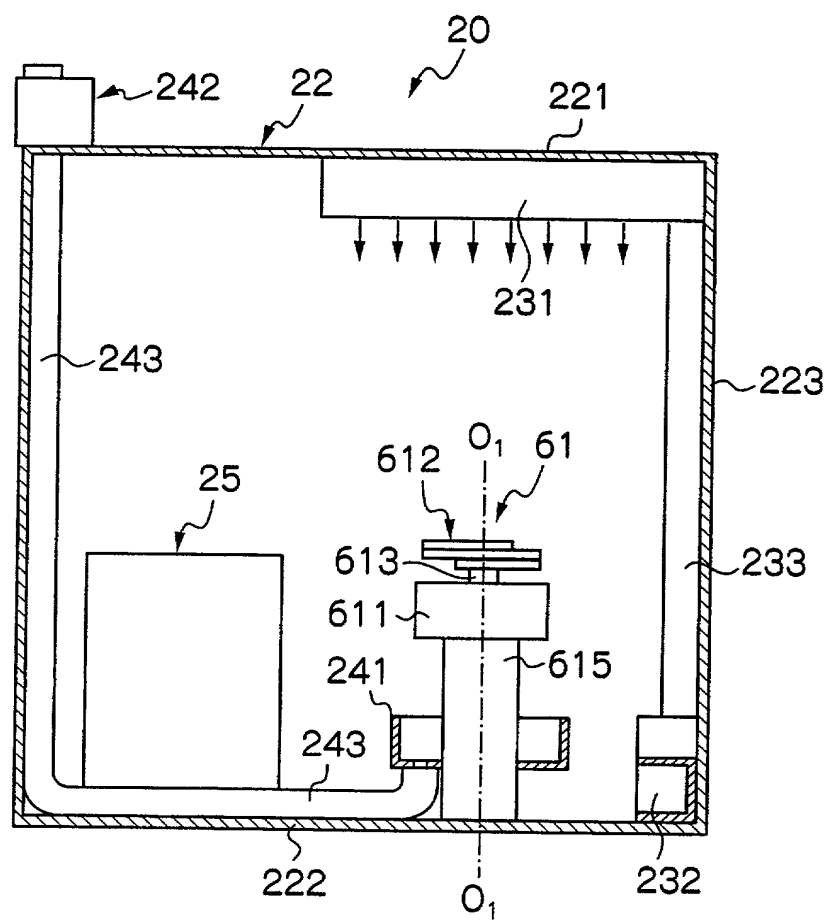


图 7

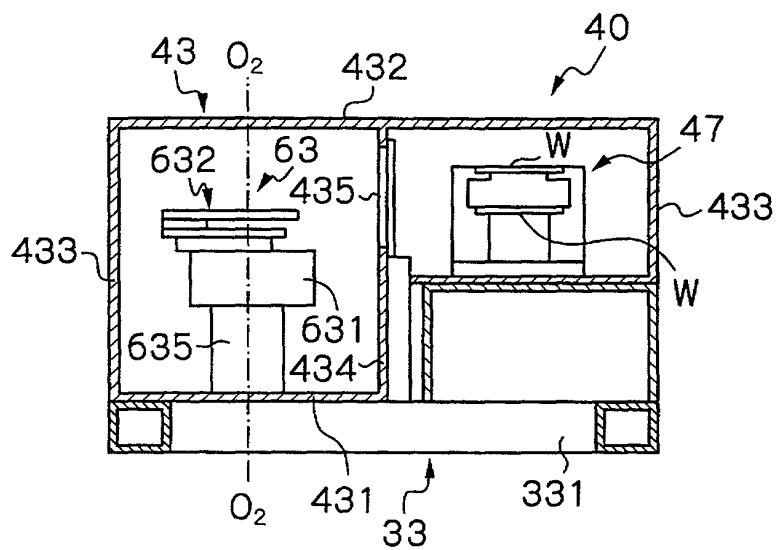


図8

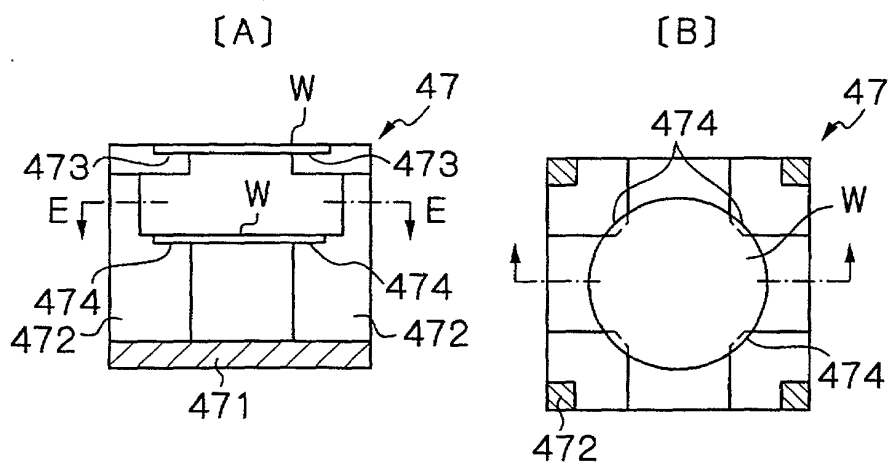
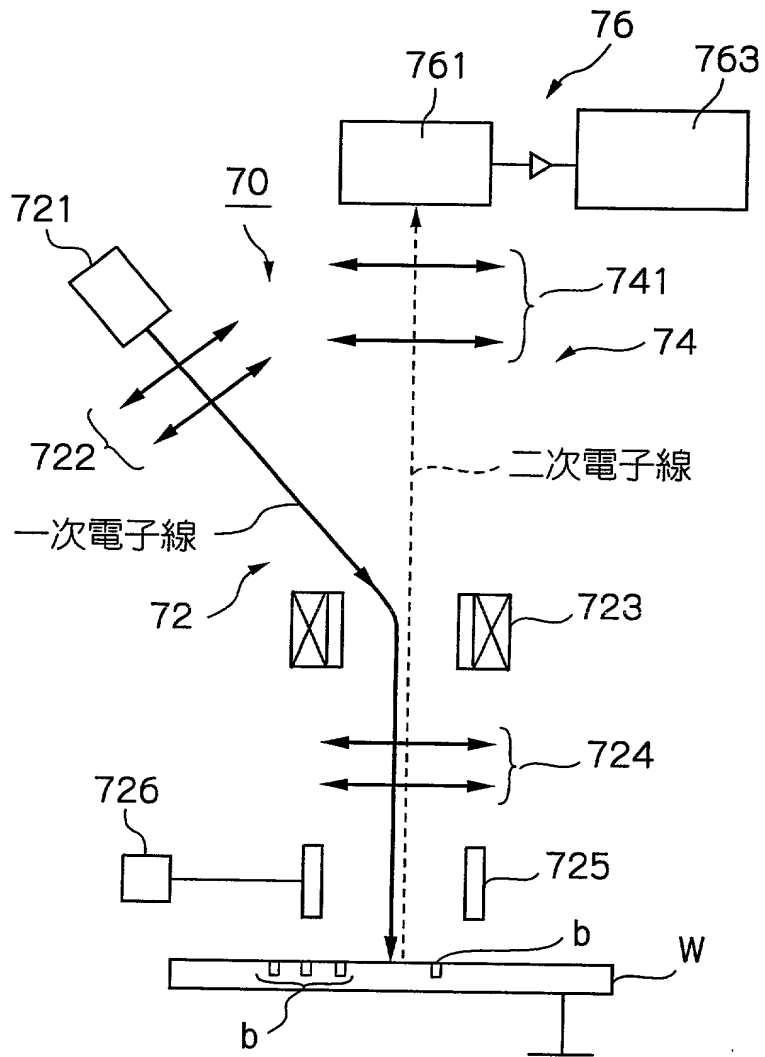


図9

図 11



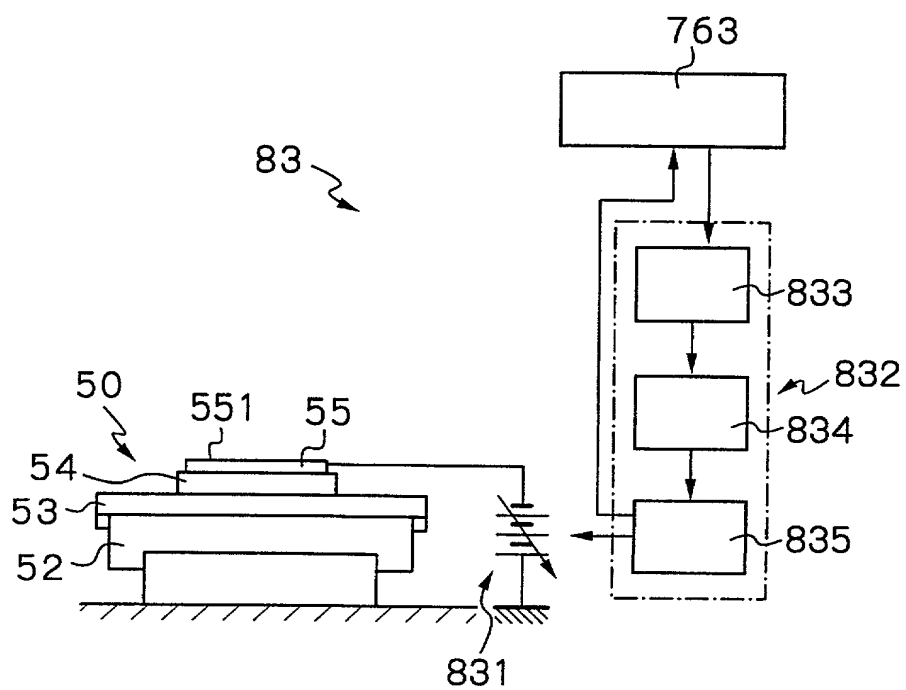
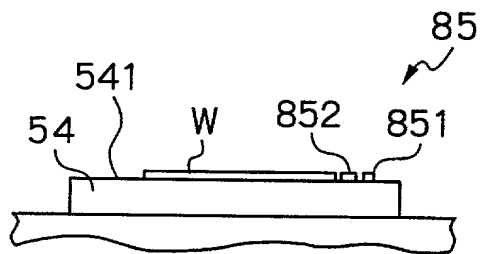


図 12

[A]



[B]

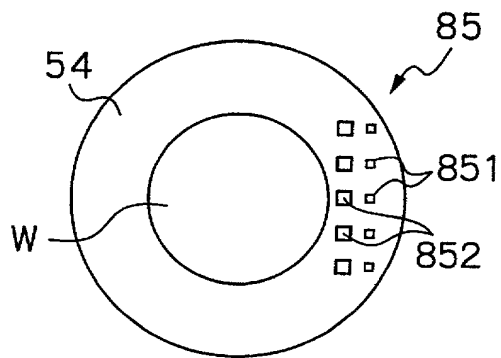


図 13

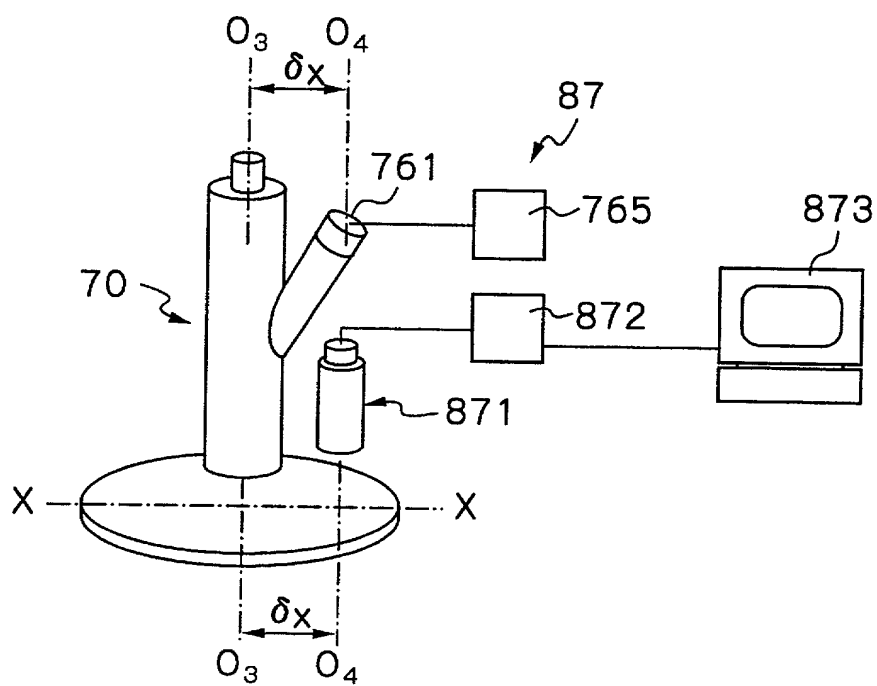


図 1 4

102350 3134000

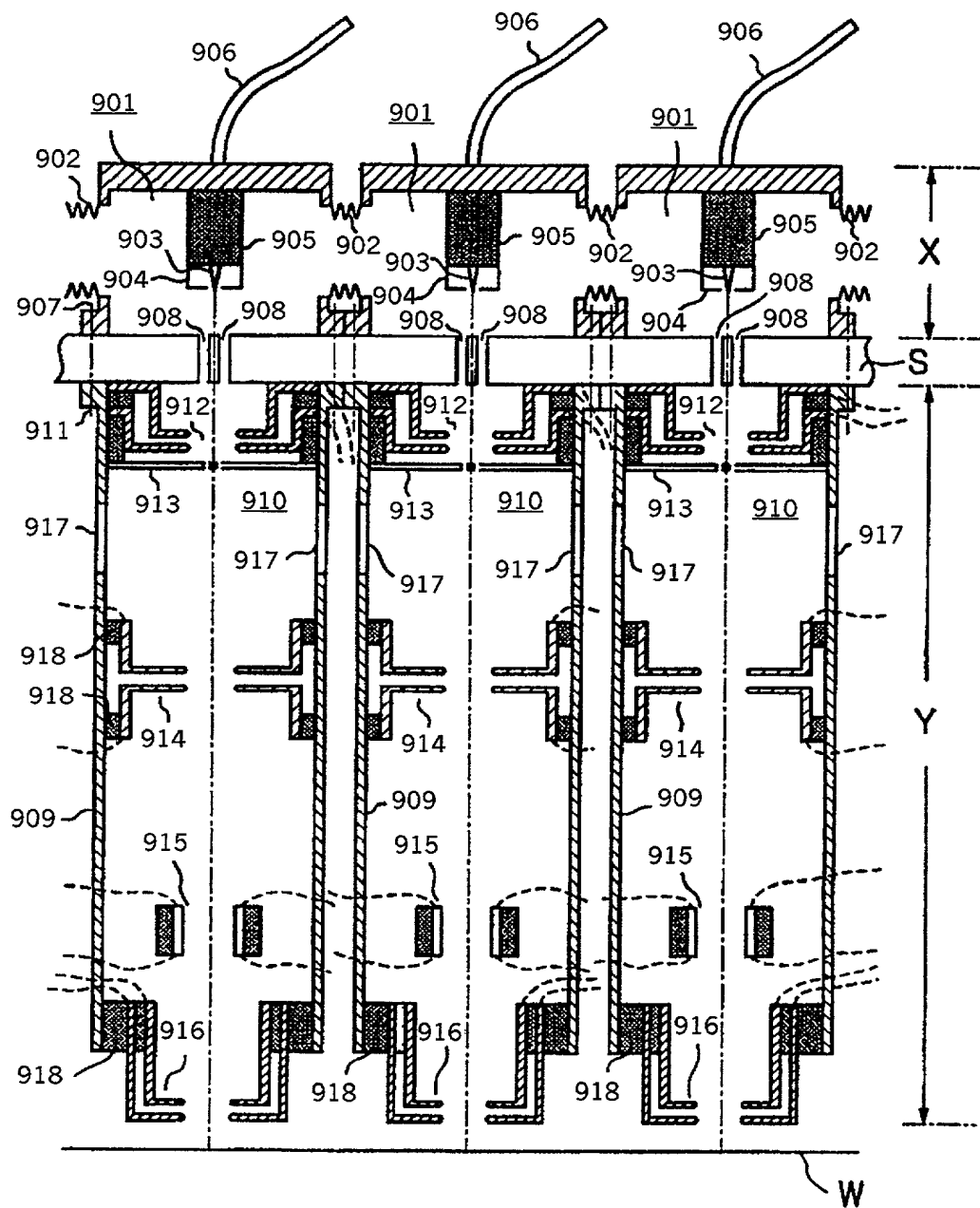


図 15

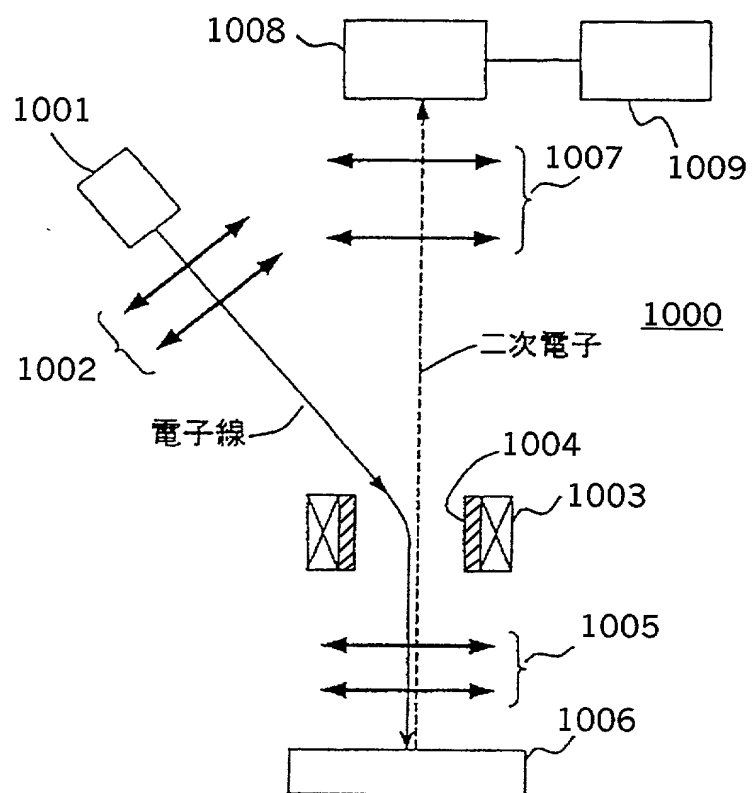


図 16

金属別の絶縁破壊発生確率

金属	仕事関数[eV]	絶縁破壊発生確率
アルミニウム	4.2	大
金	4.9	中
白金	5.3	小

図 17

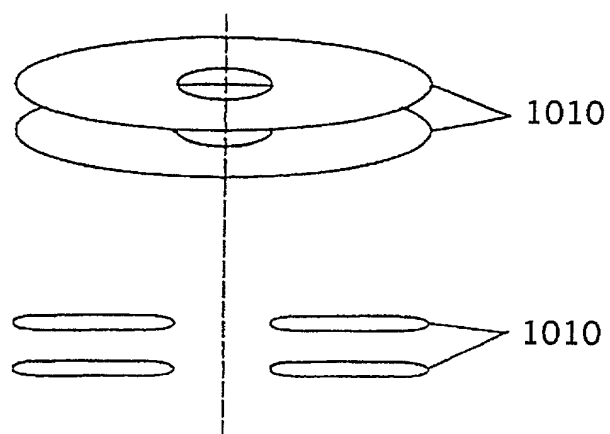


図 18

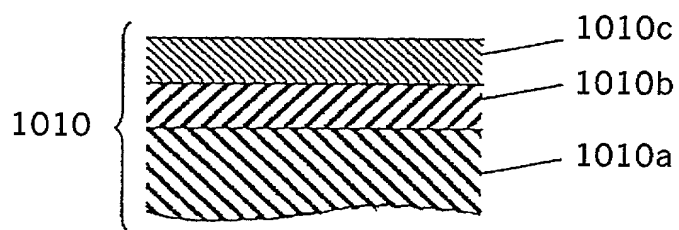


図 19

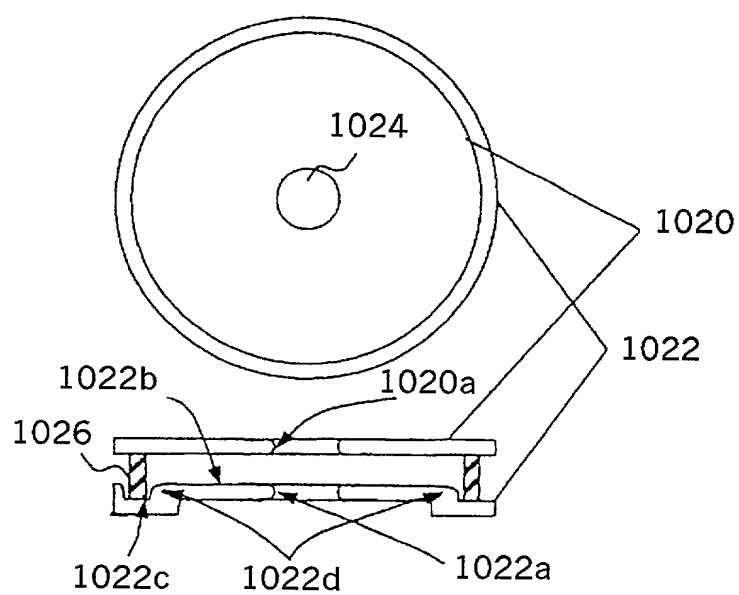


図 20

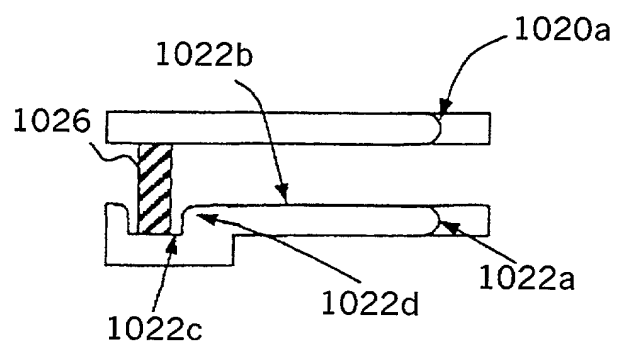


図 21

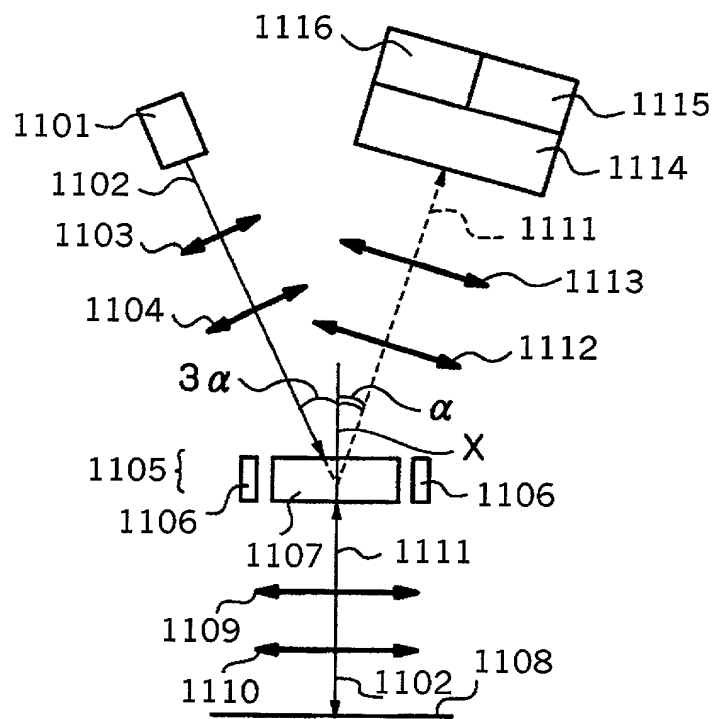


図 22

FIG. 23

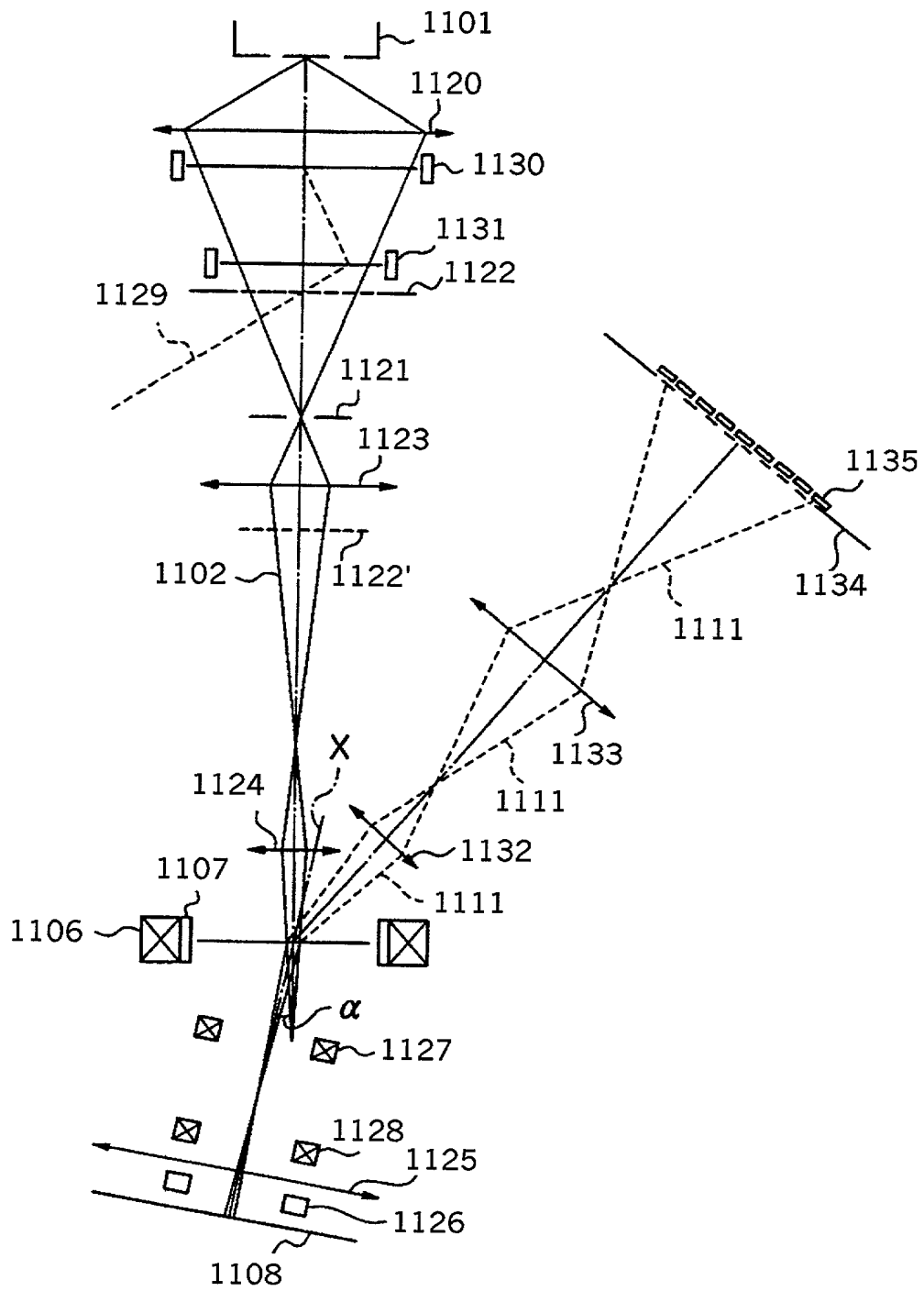
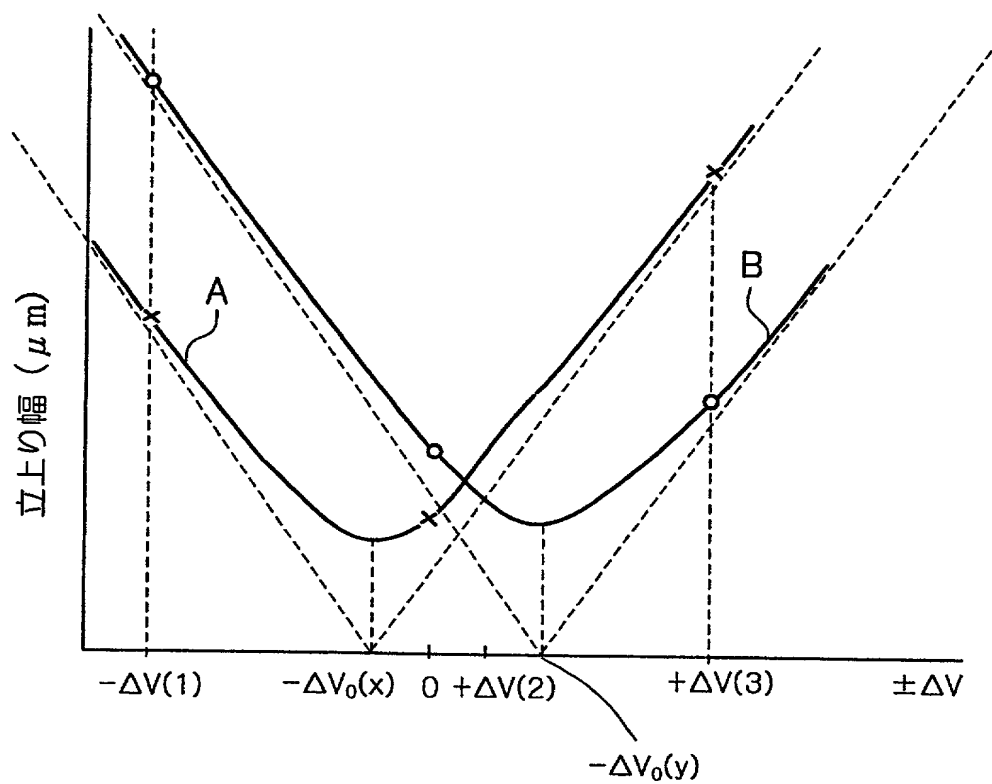


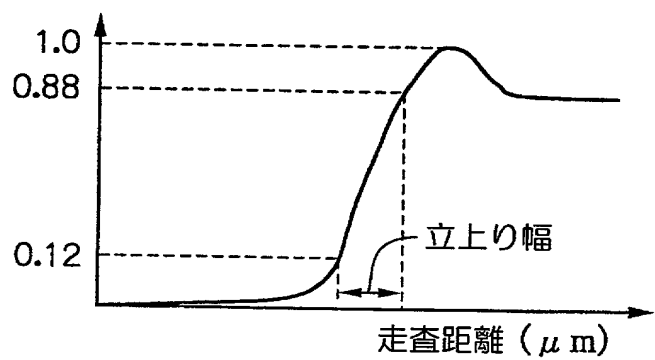
図23

図25

(a)



(b)



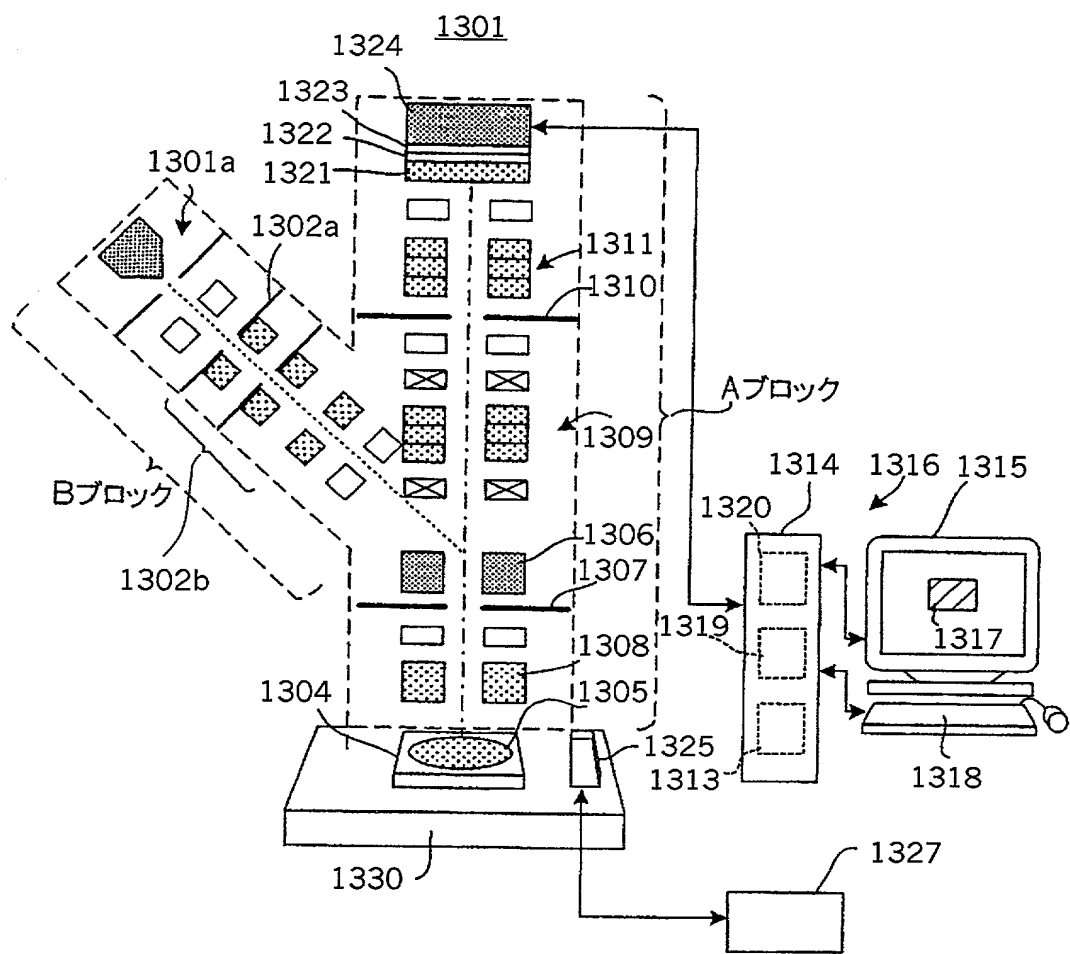


図26

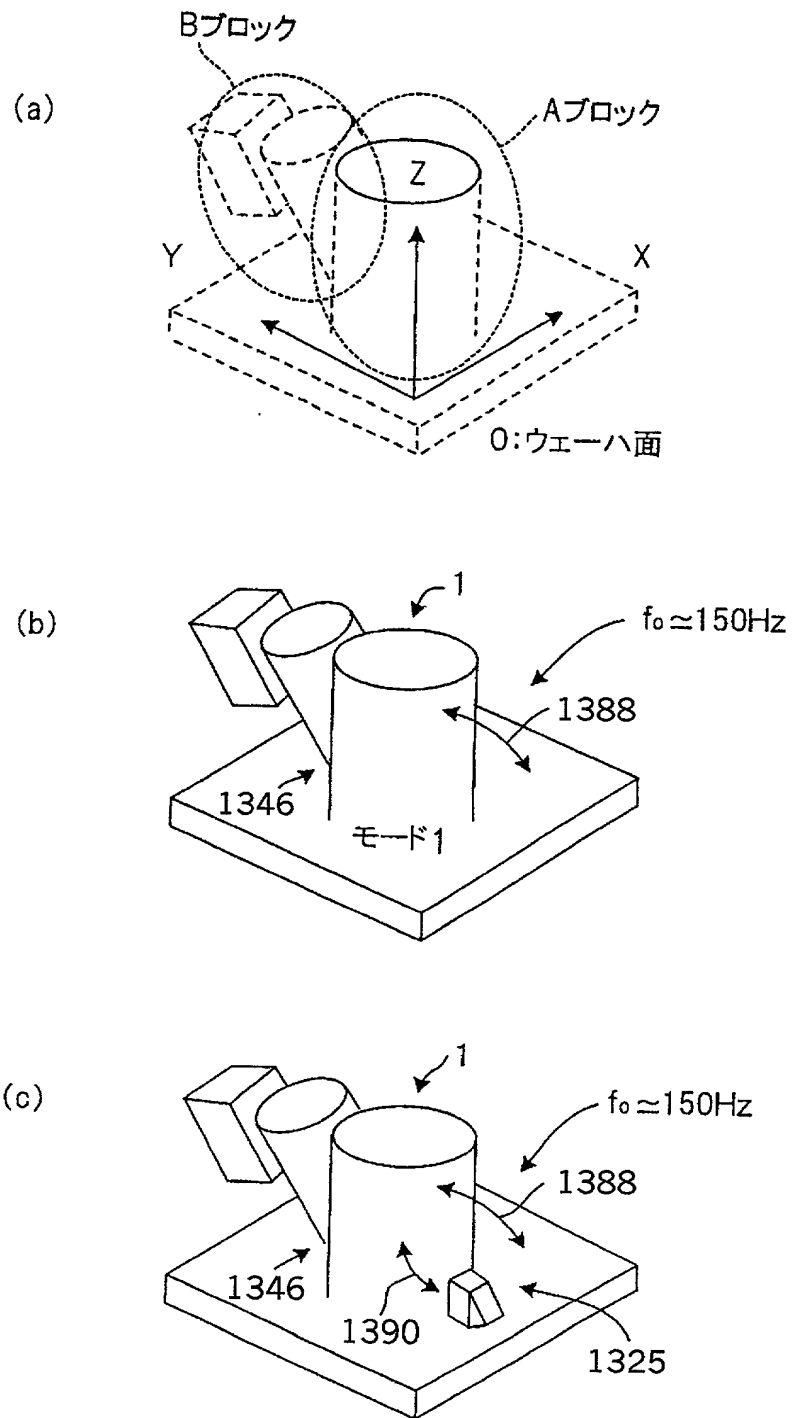


図27

FIG. 28 is a schematic diagram of a piezoelectric resonator 1301.

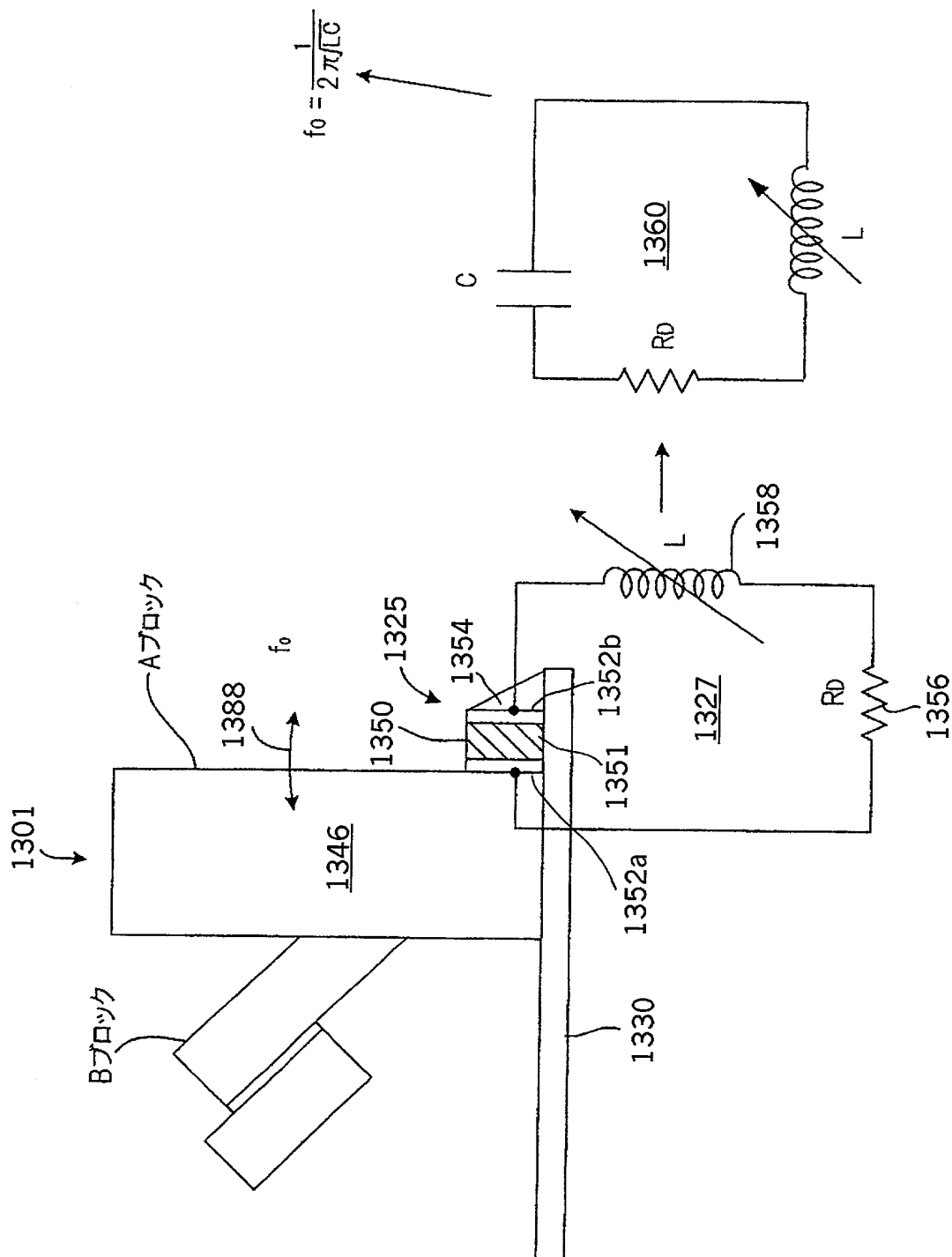


図28

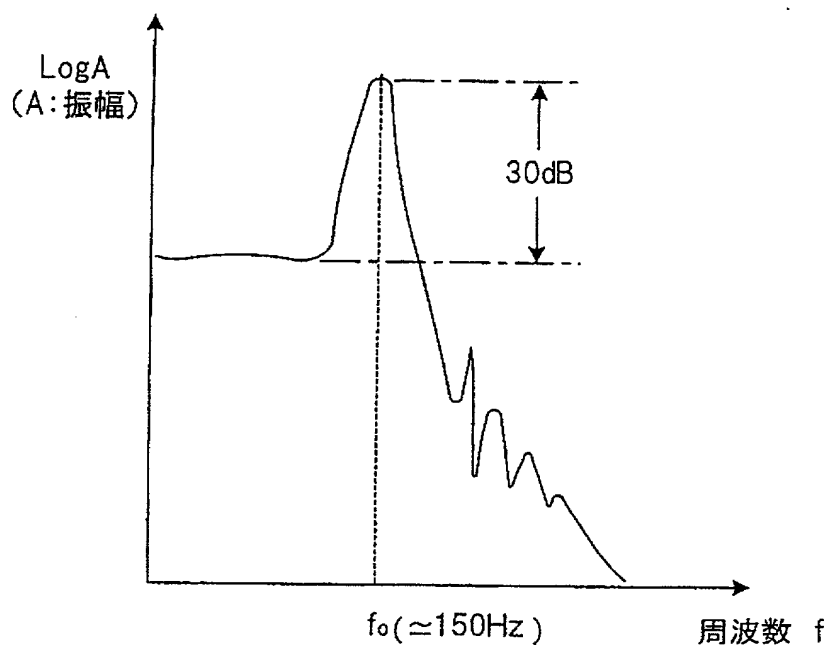


図 29

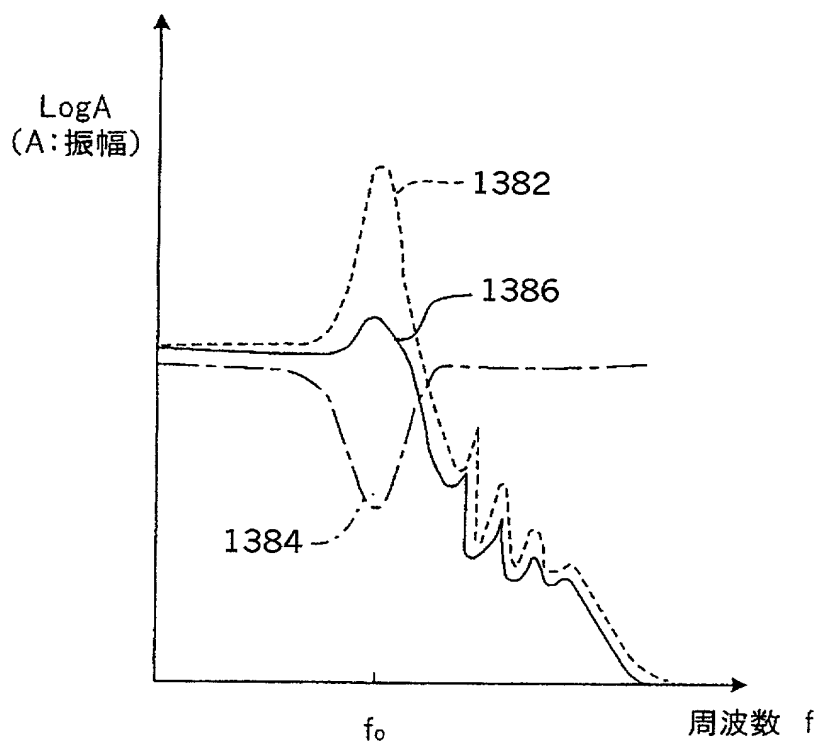
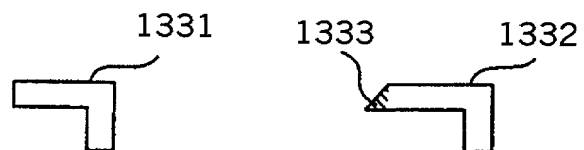
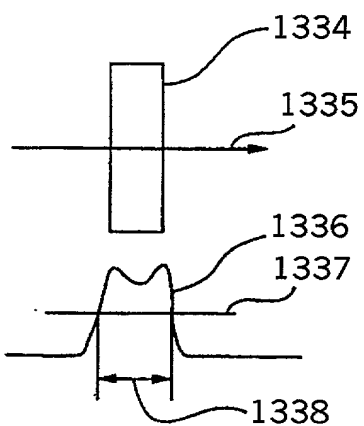


図 30

(a)



(b)



(c)

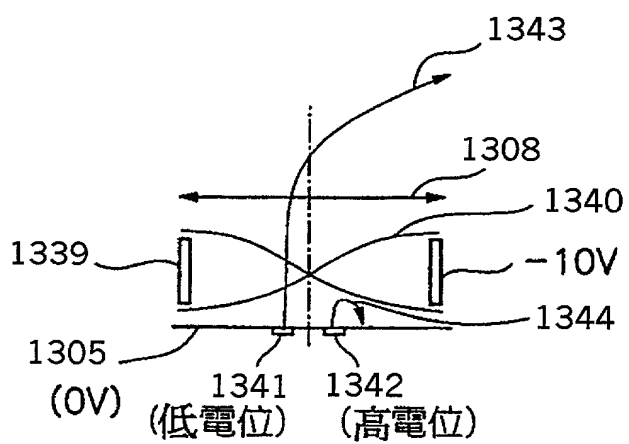


図 3 1

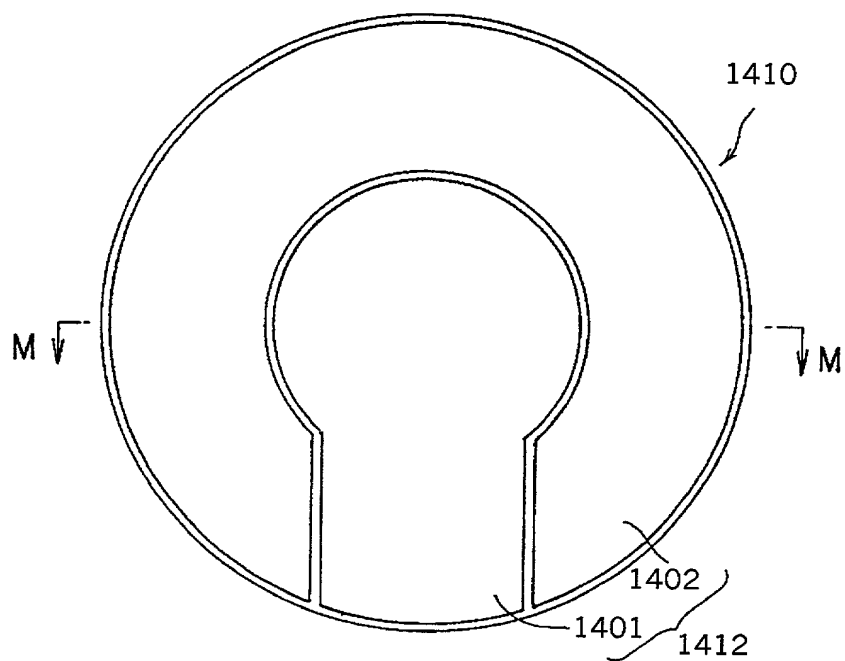


图 32

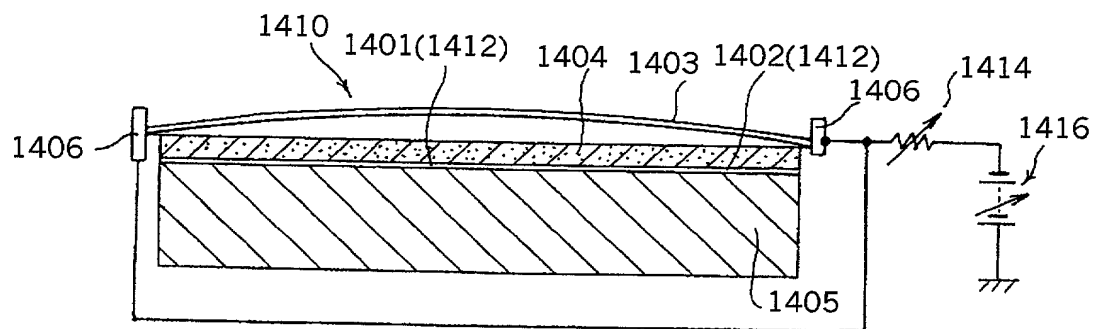
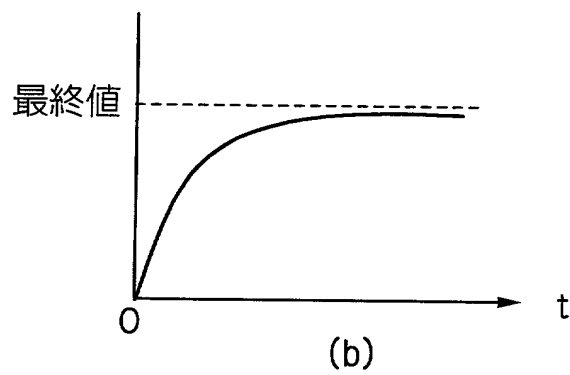
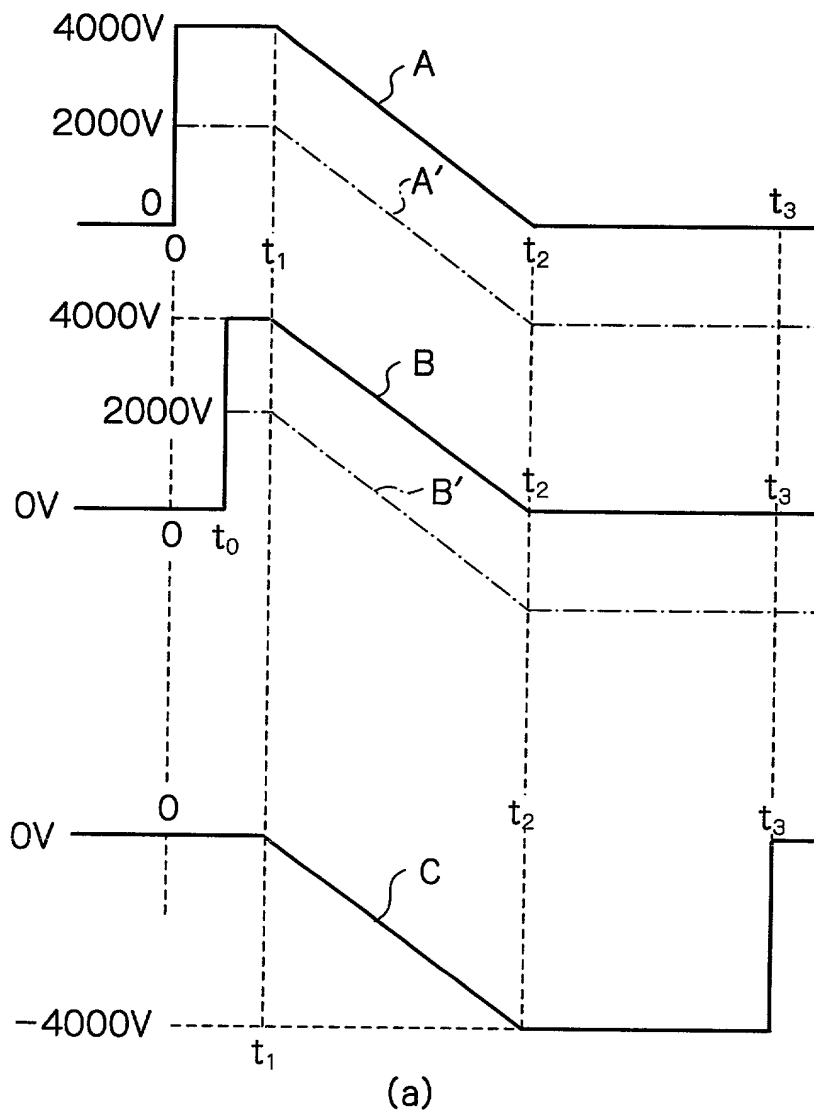


图 33

図 34



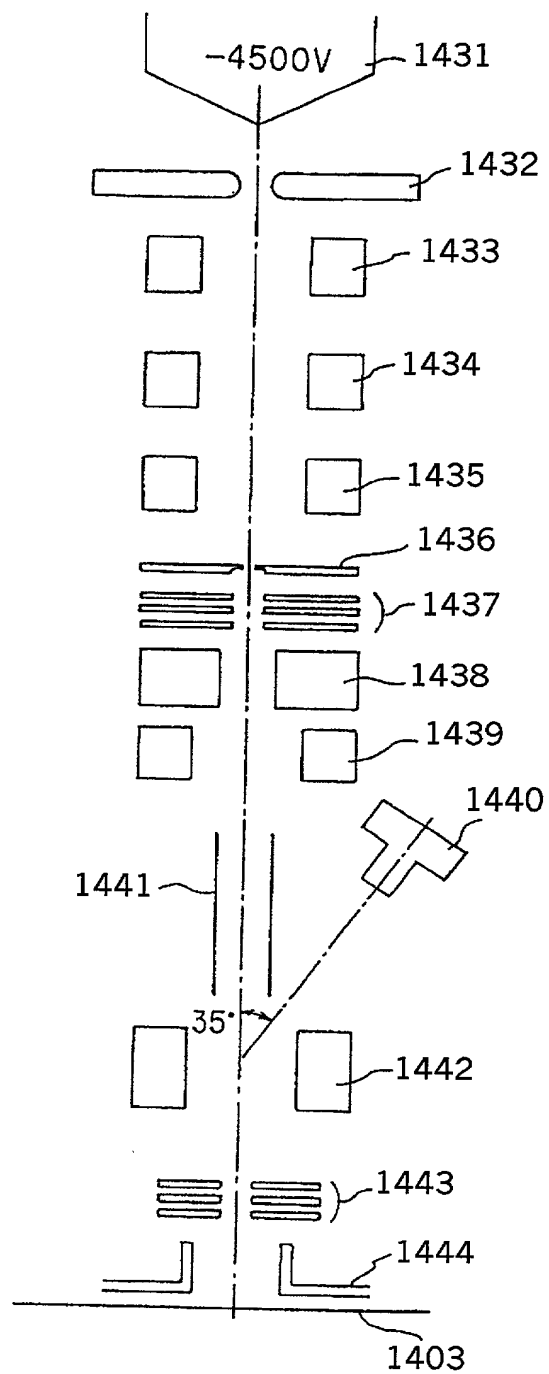


図 35

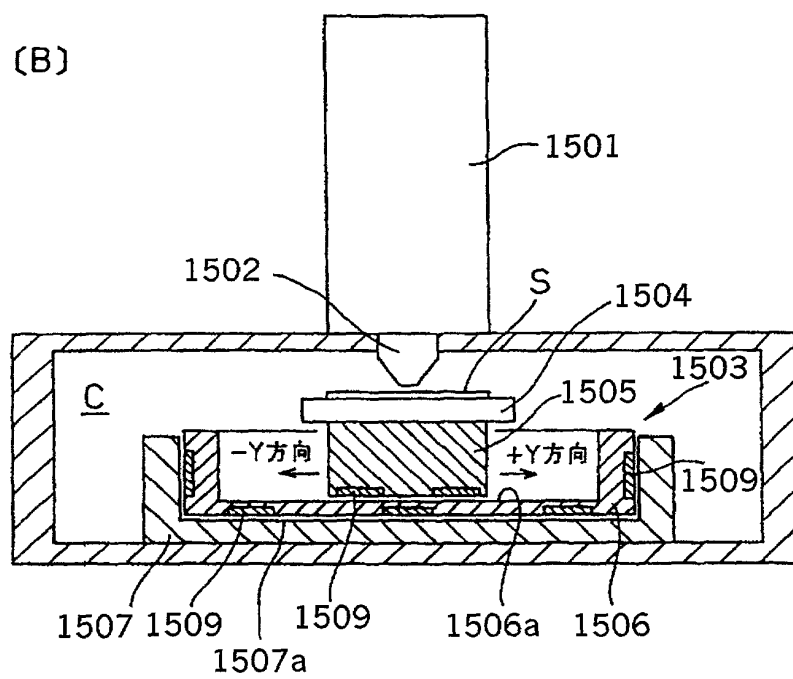
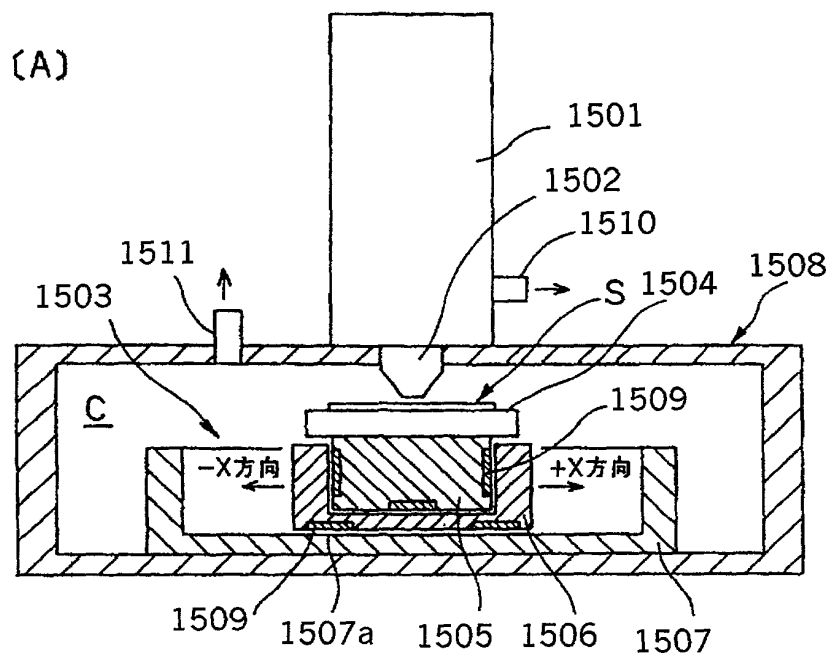


図36

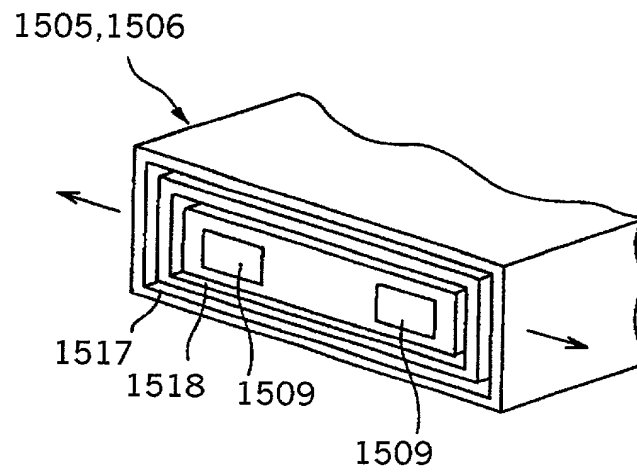
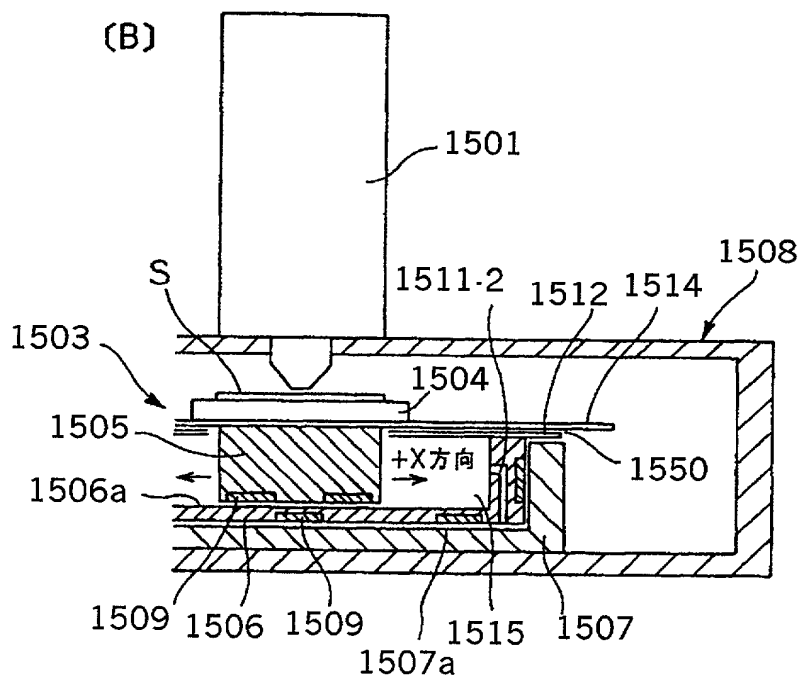
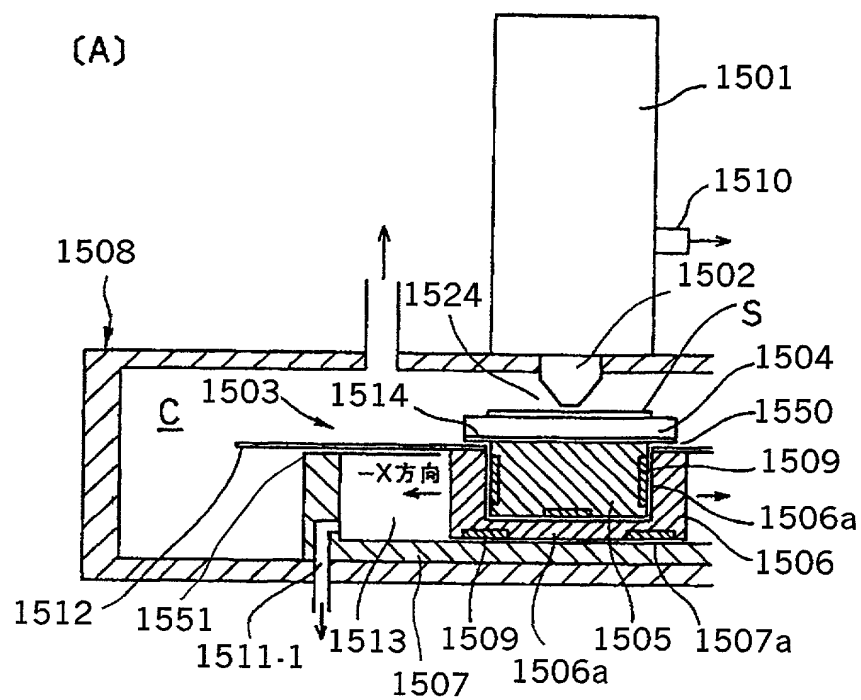


図 37



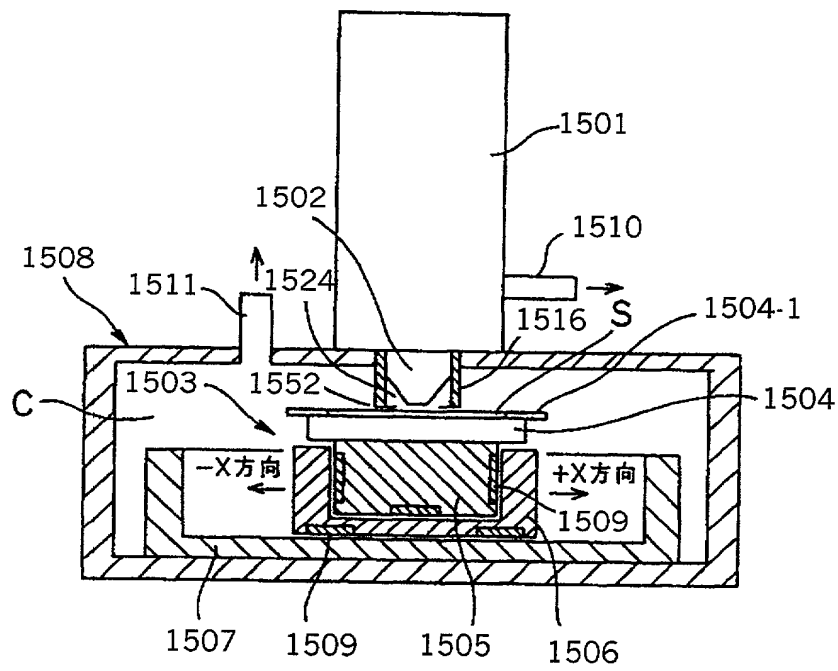


图 39

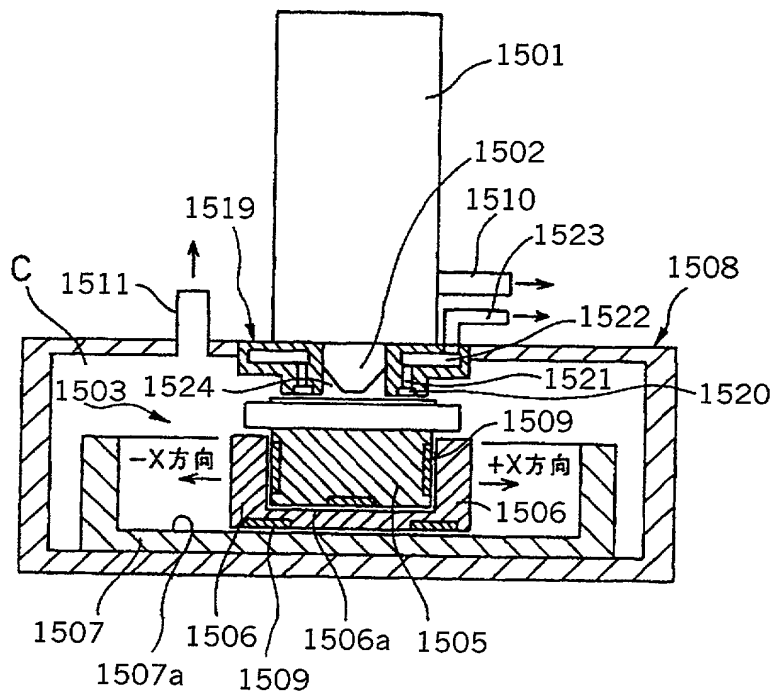


图 40

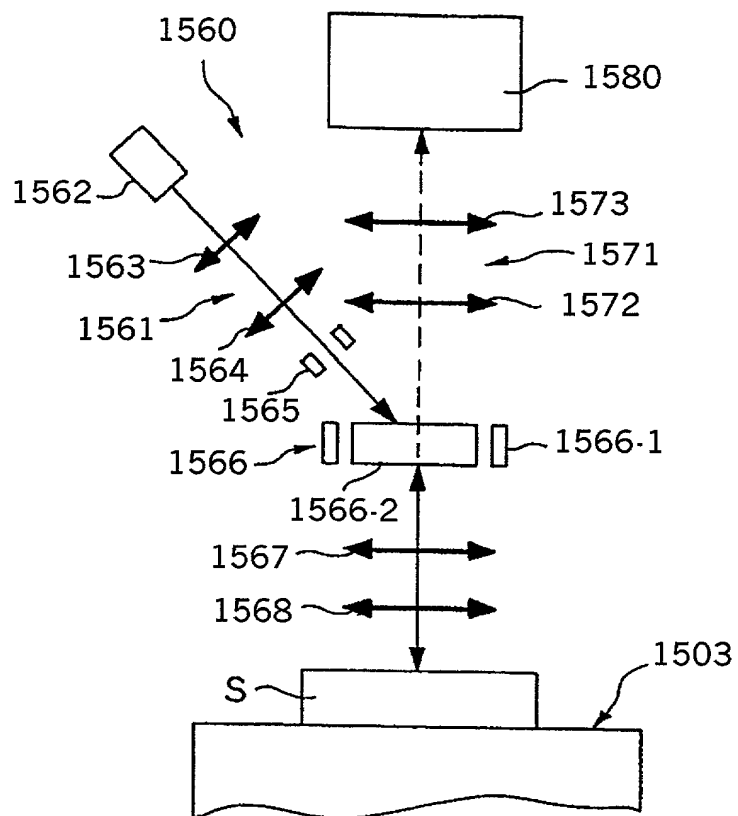


図 43

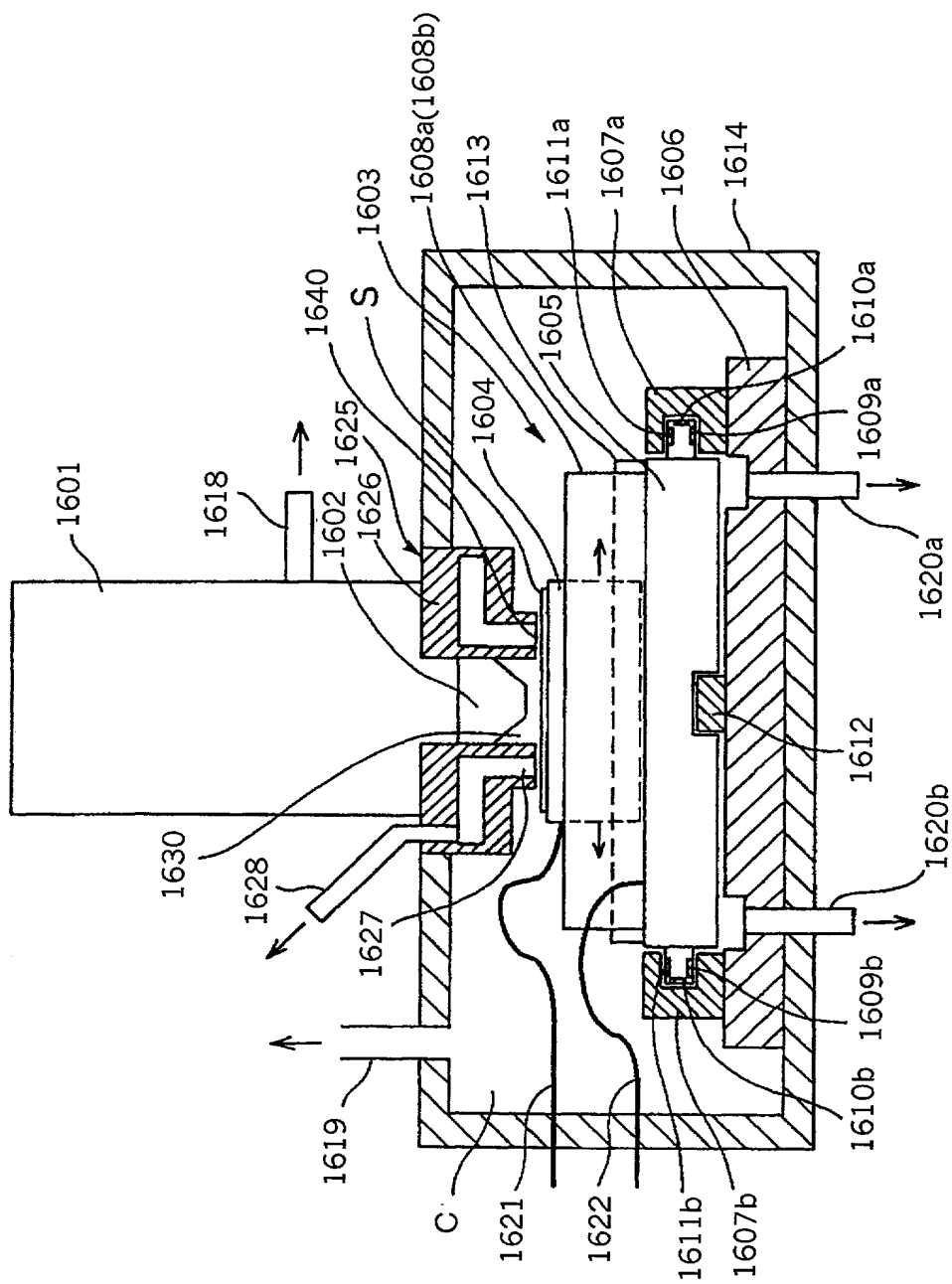
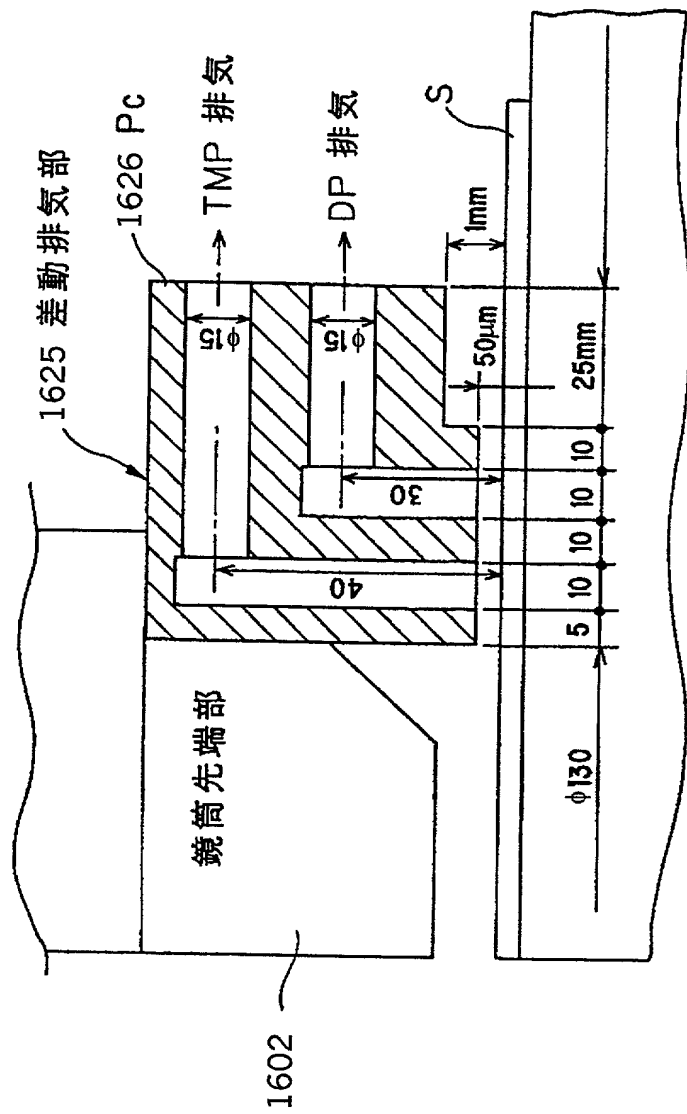
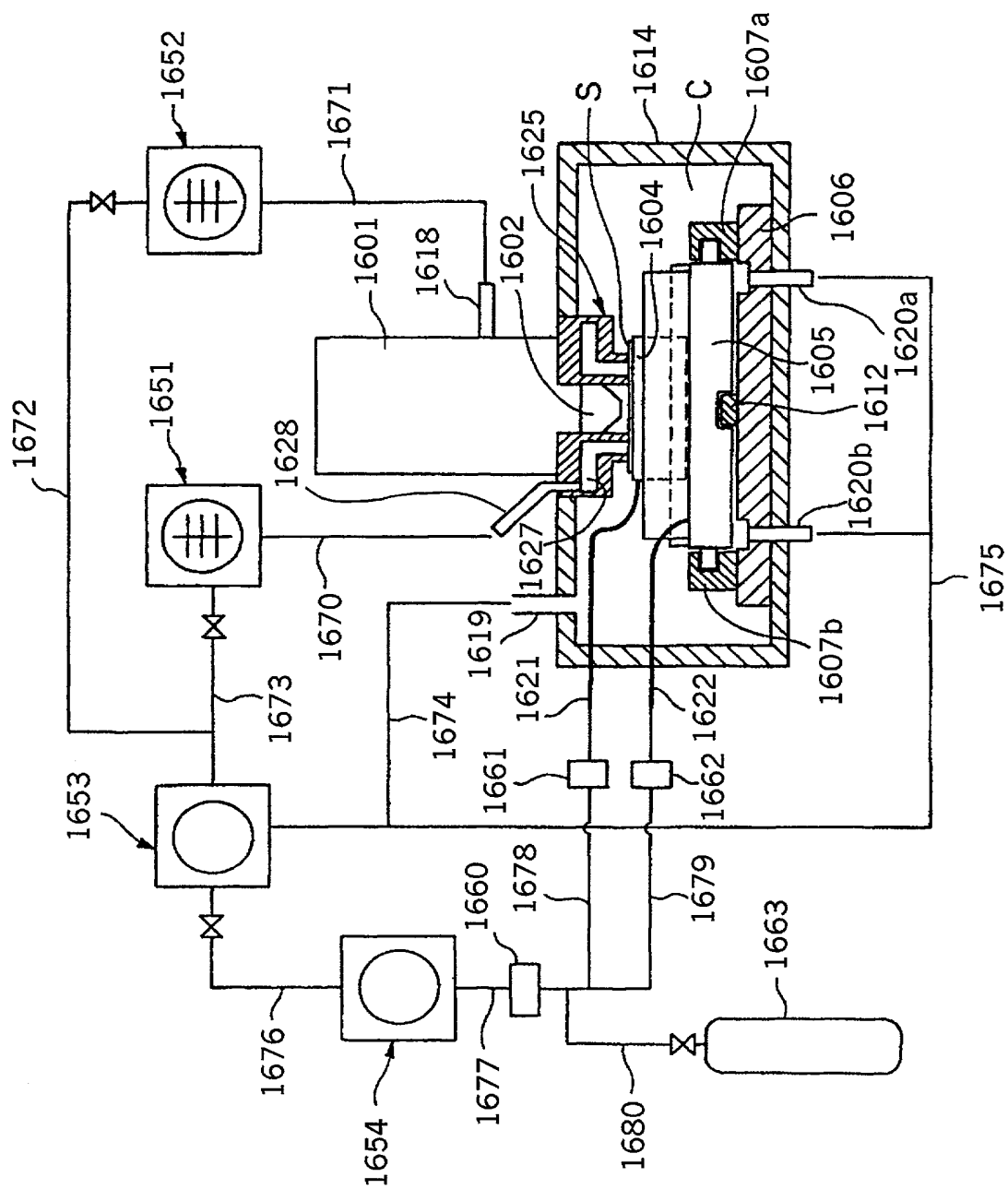


图 44





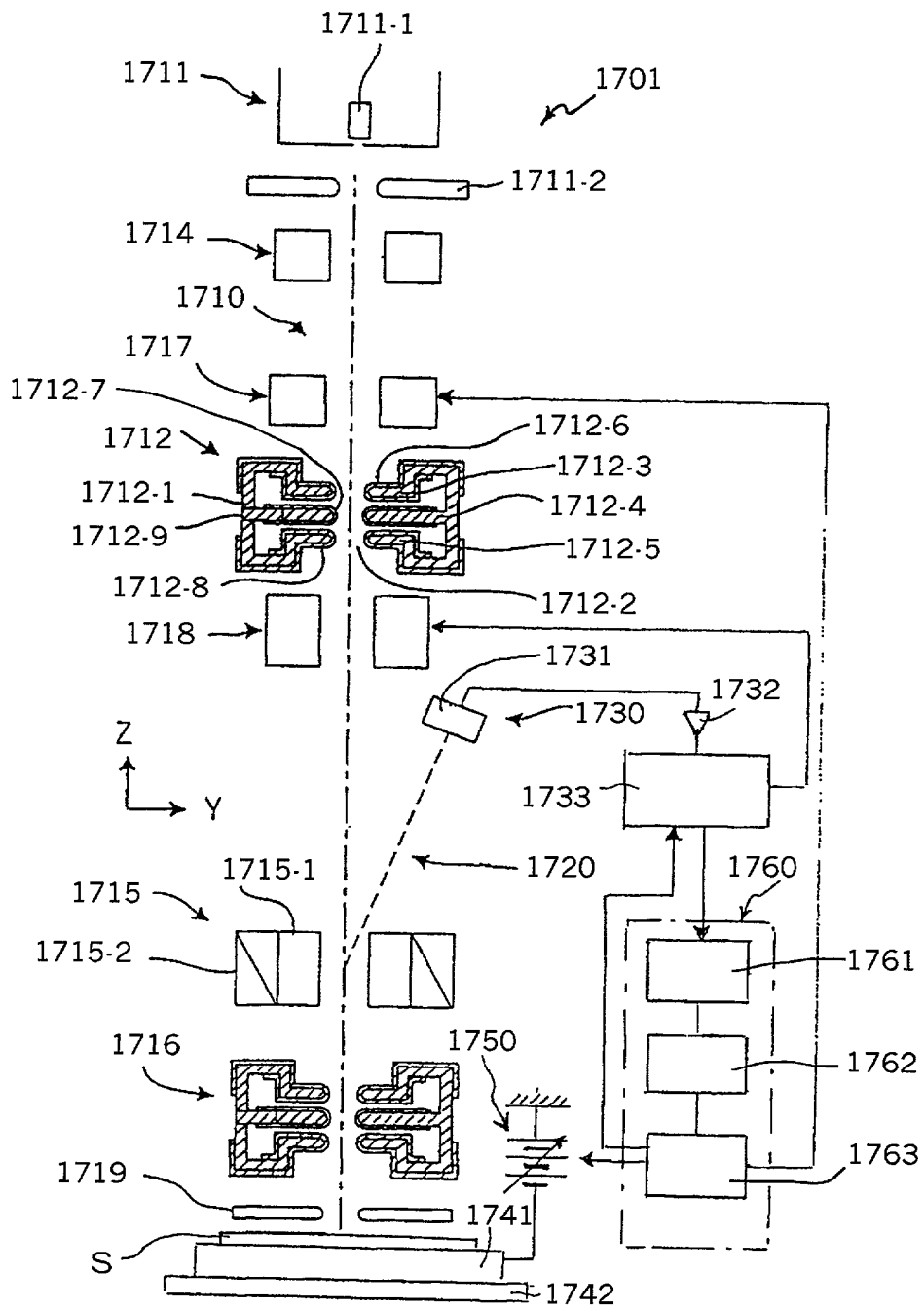


図47

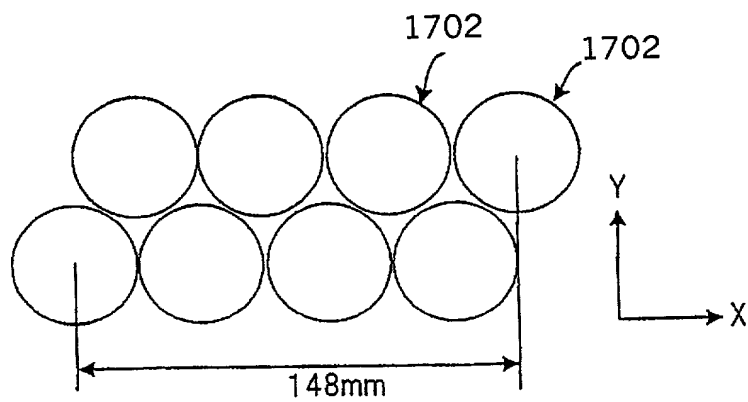
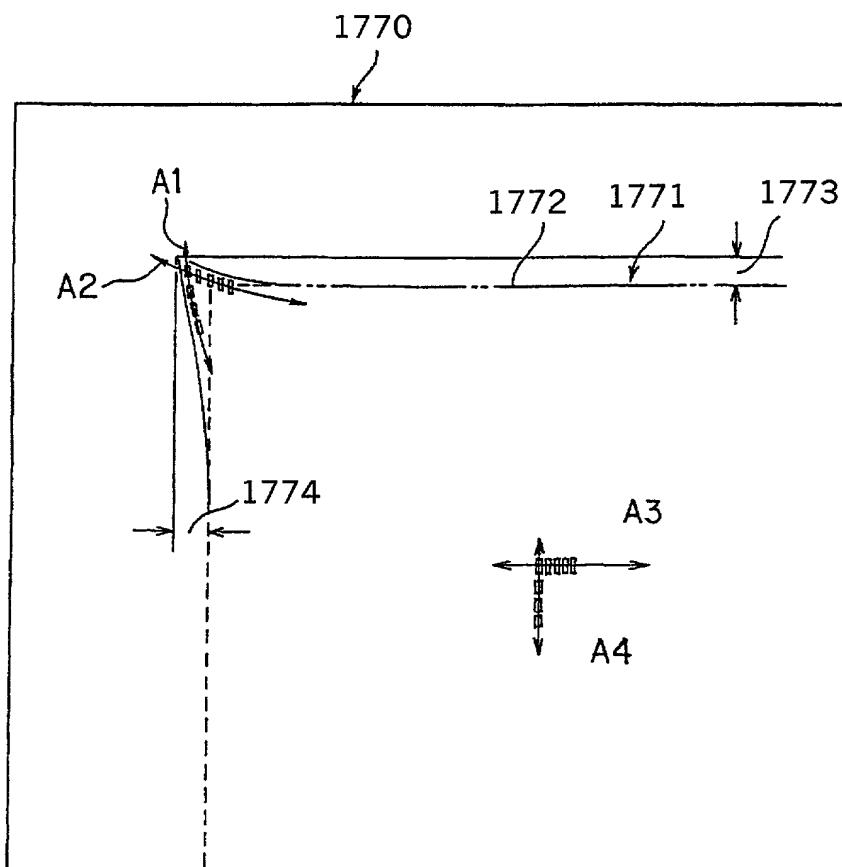


図 48

(A)



(B)

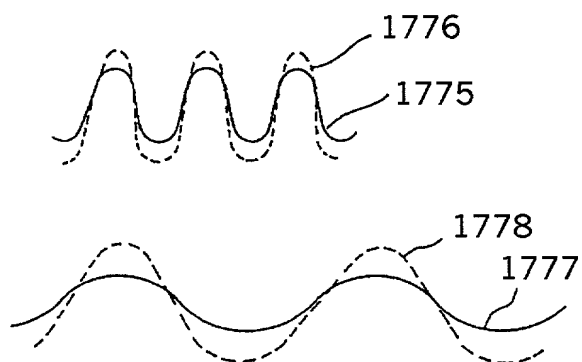


図49

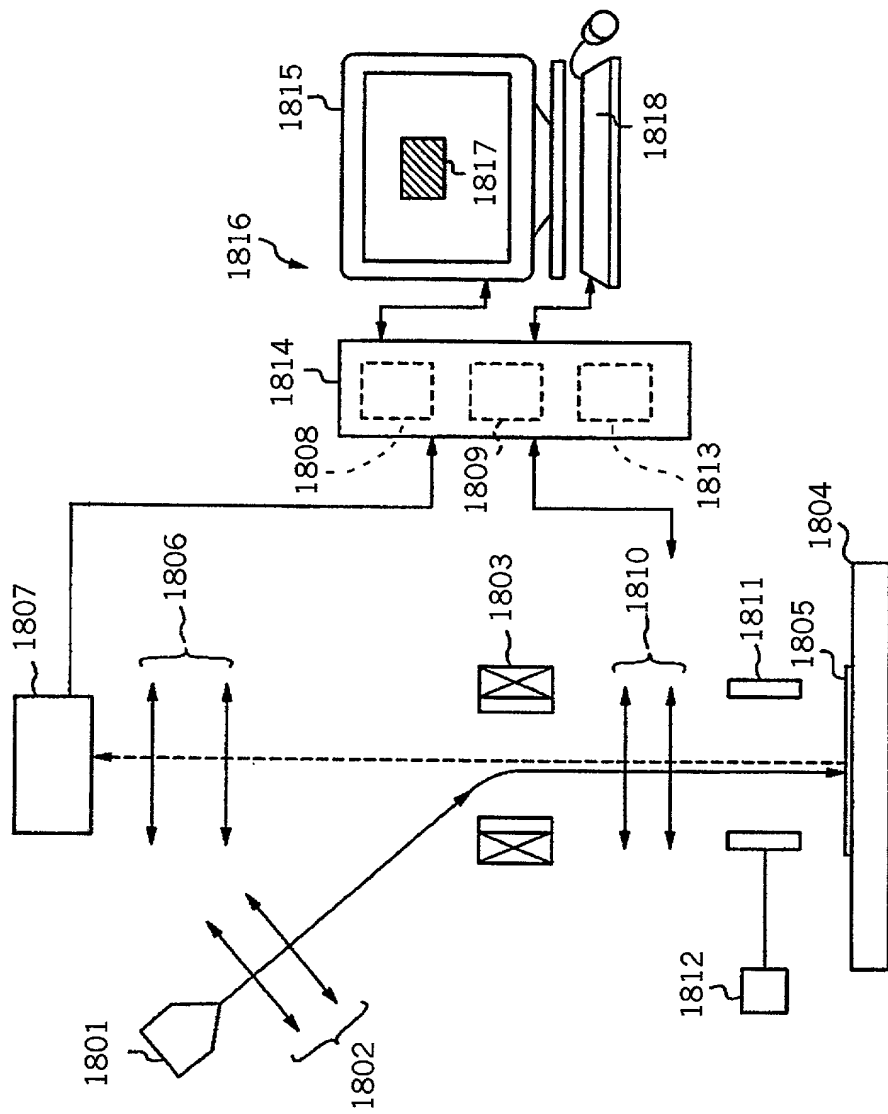


FIG. 50

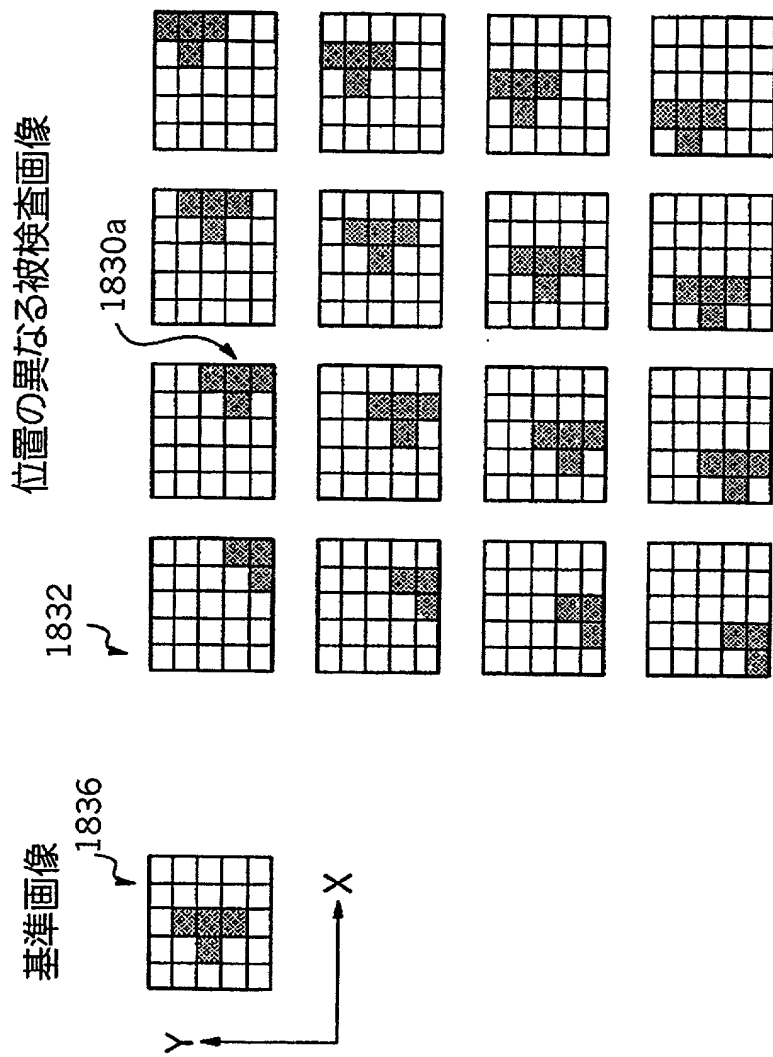


図 51

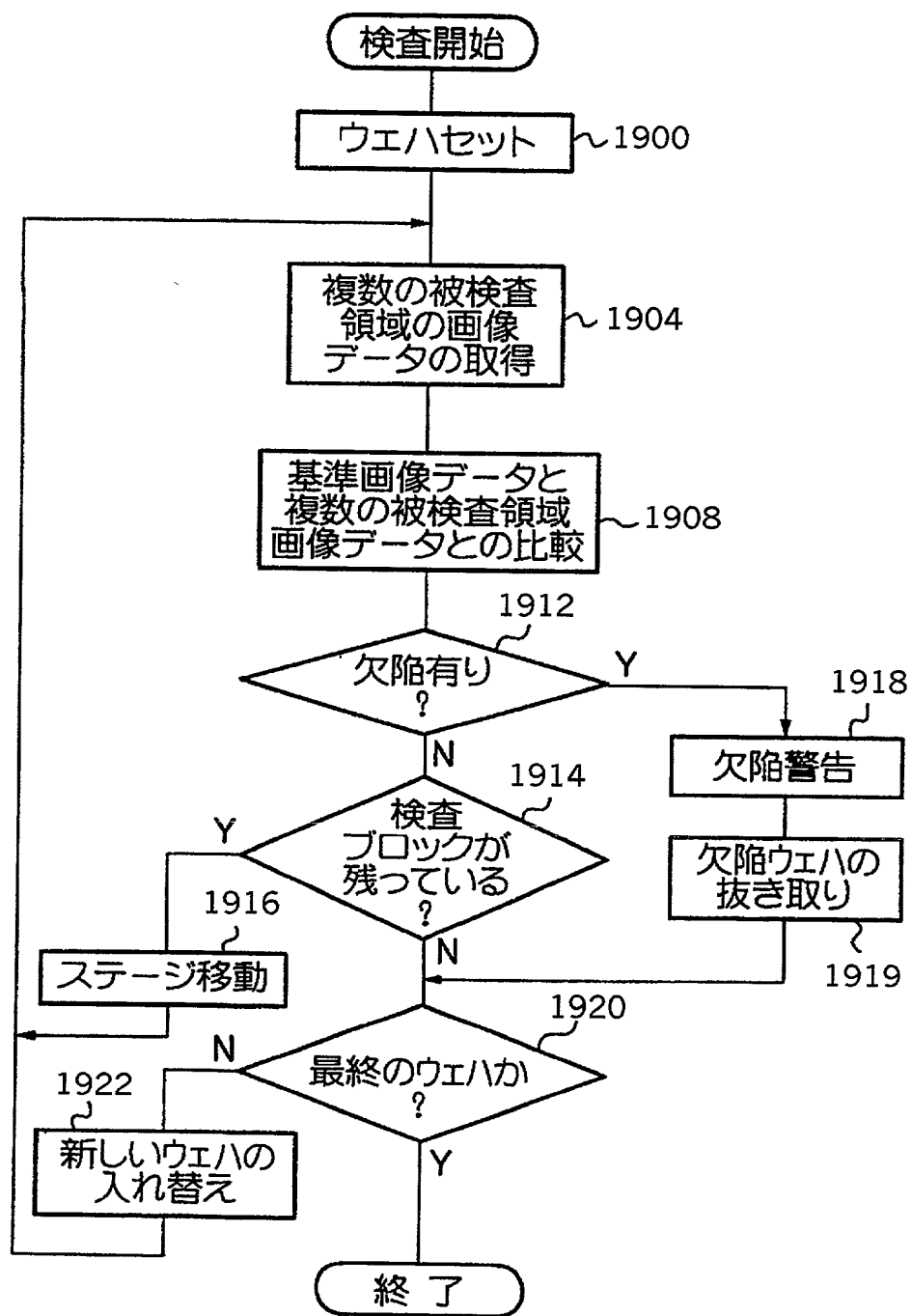


図52

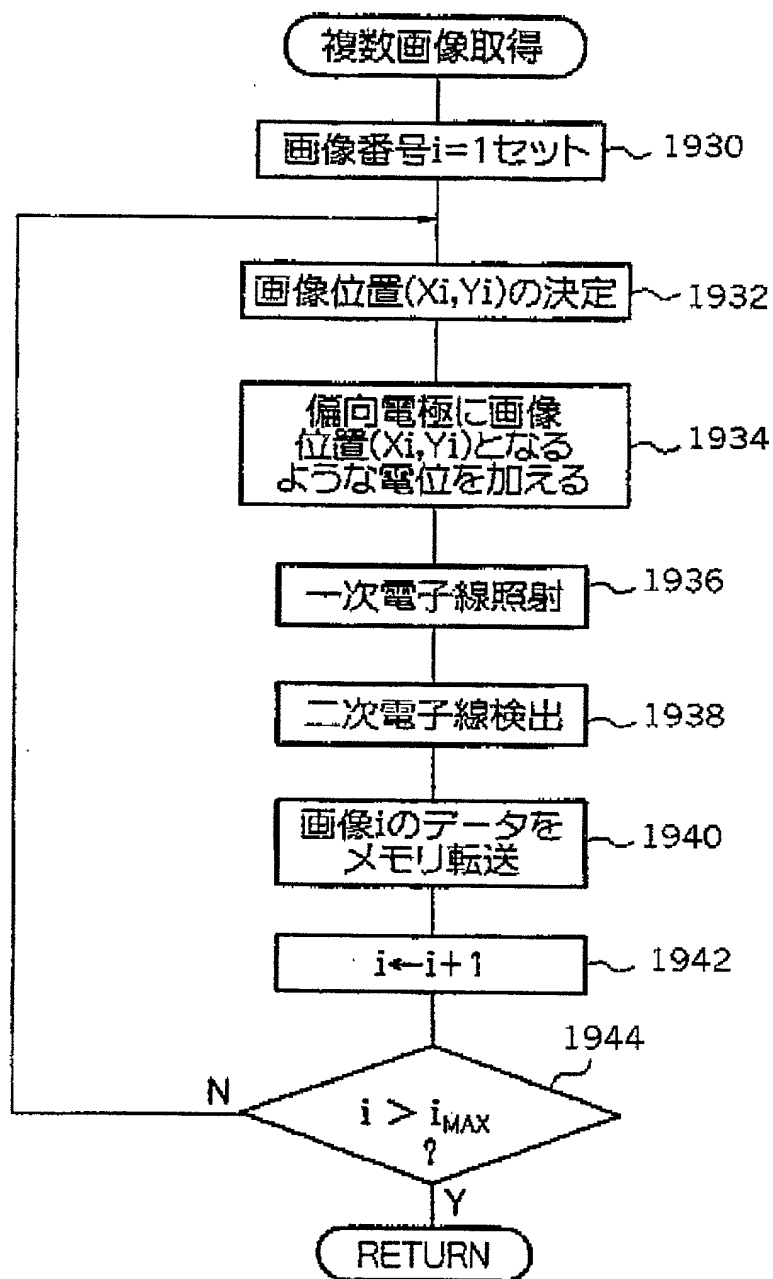


図53

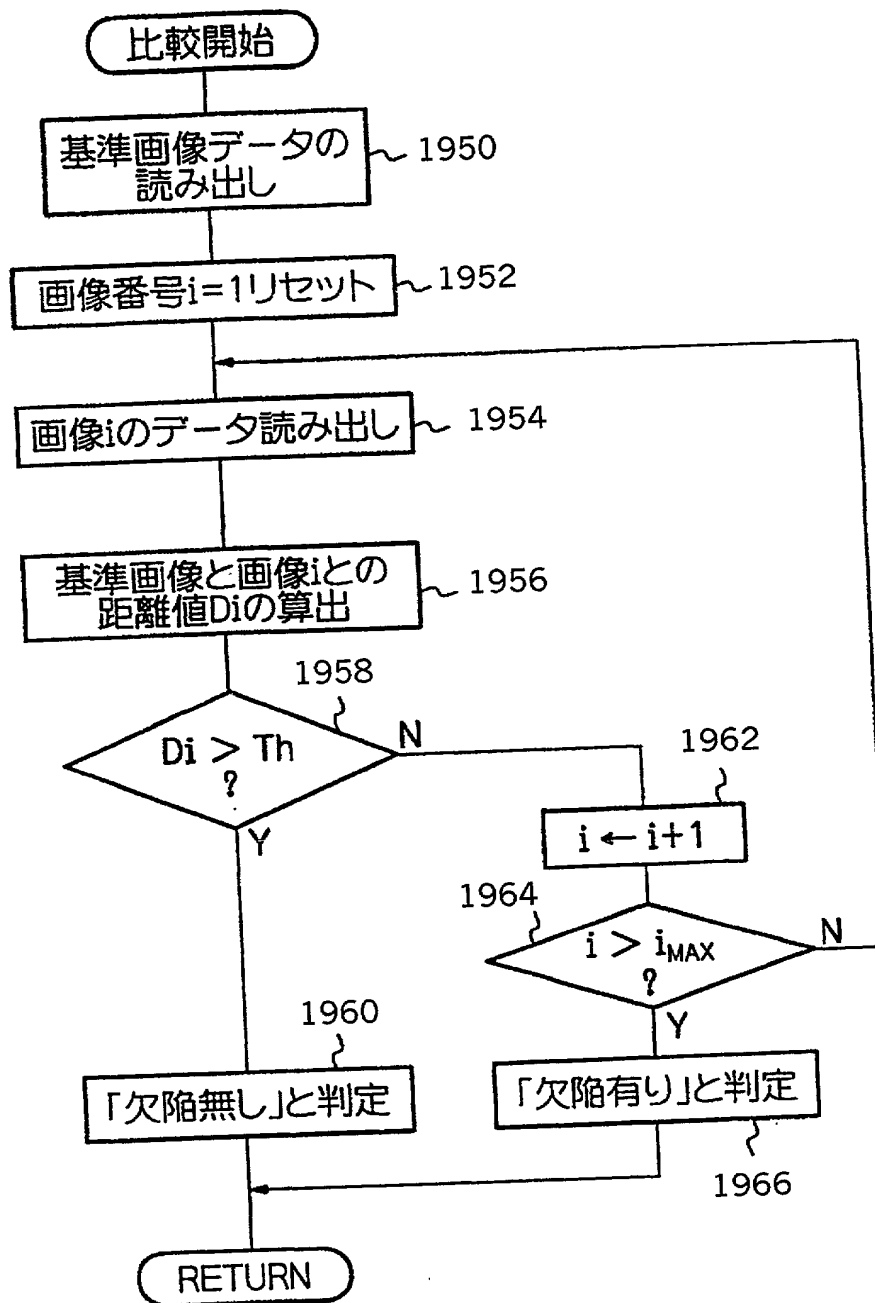


図54

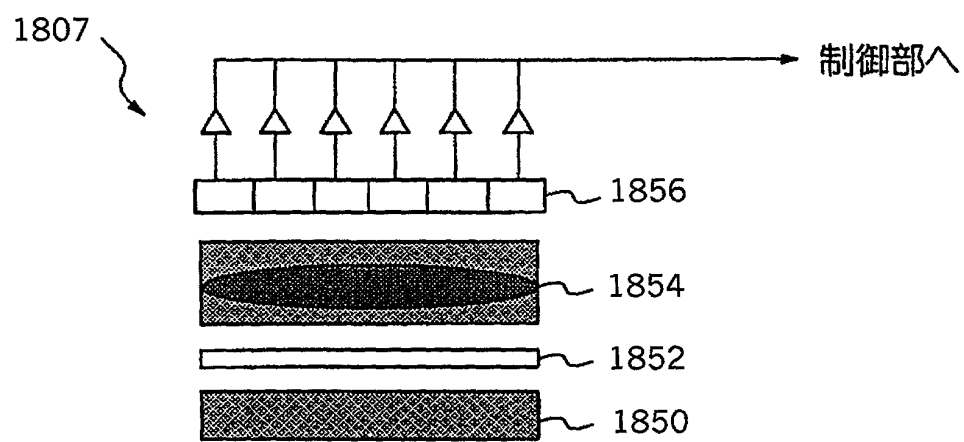


図55

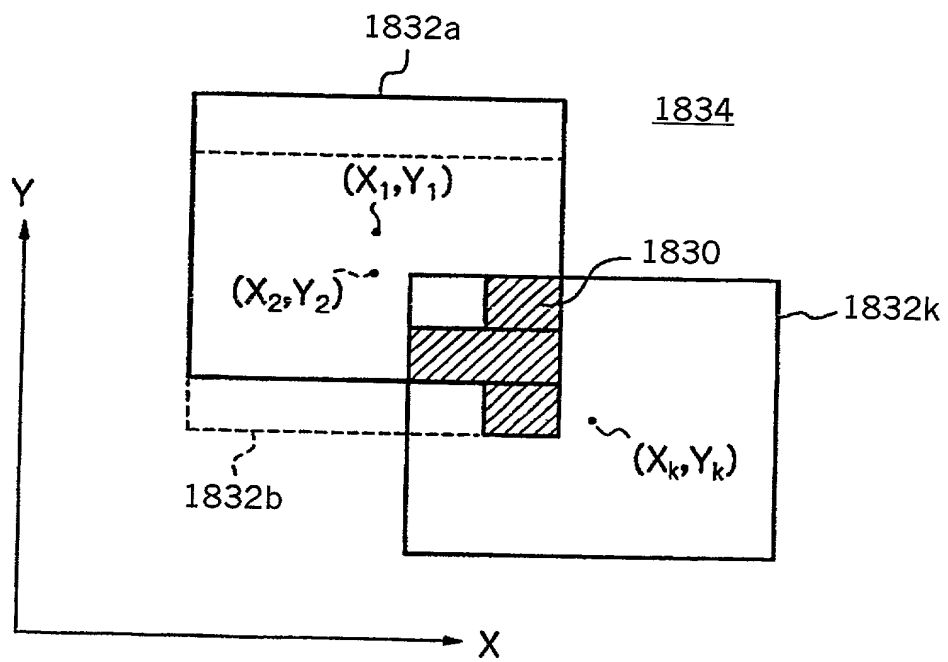


図 56